



دانشگاه آزاد اسلامی واحد تهران جنوب
دانشکده مهندسی پزشکی، گروه بیوالکتریک

رشته / گرایش: مهندسی پزشکی/بیوالکتریک

عنوان:

تشخیص بیماری صرع تمپورال راست از طریق تحلیل تصاویر دریافتی از دستگاه ام آر آی

استاد:

جناب آقای مهدی اسلامی

پژوهشگر:

نادیا جلالی فراهانی

شماره دانشجویی:

۴۰۰۱۴۱۴۰۱۱۱۰۳۷

بهار ۱۴۰۲

بِسْمِ اللَّهِ الرَّحْمَنِ الرَّحِيمِ

فهرست مطالب

صفحه	عنوان
۱۷	چکیده فارسی
	فصل اول: کلیات تحقیق
۲۰	۱-۱- بیان مساله
۲۲	۱-۲- اهمیت و ضرورت تحقیق
۲۴	۱-۳- اهداف تحقیق
	فصل دوم: مبانی نظری تحقیق و کارهای پیشین
۲۶	۲-۱- آناتومی و فیزیولوژی مغز
۲۹	۲-۲- تاریخچه neuroimaging
۳۰	۲-۳- اپیلمپی
	فصل سوم: روش پیشنهادی
۳۳	۳-۱- داده کاوی بر اساس پایتون
۳۶	۳-۲- داده کاوی در علوم پزشکی
۳۸	۳-۳- کاربردهای داده کاوی
۳۹	۳-۴- شبکه عصبی
۴۱	۳-۵- ساختار عصبه شبکی
۴۲	۳-۵-۱- ساختار عصبی پرسپترون
۴۳	۳-۶- تقسیم بندی شبکه های عصبی

۴۴	۷-۳- الگوریتم جنگل تصادفی
۴۶	۸-۳- الگوریتم k نزدیکترین همسایه
۴۷	۹-۳- الگوریتم ماشین بردار پشتیبان خطی
۴۸	۱۰-۳- نحوه تشکیل ابر سطحی جدا کننده
۵۱	۱۲-۳- جمع بندی

فصل چهارم: پیاده سازی و ارزیابی روش پیشنهادی

۵۲	۱-۴- live code
----	----------------

فصل پنجم: نتیجه گیری و پیشنهادات

۹۳	۱-۵- مقدمه
۹۳	۲-۵- مشخصه های موثر بر تشخیص بیماری بعد از عمل تشنج
۹۶	۳-۵- نتایج خروجی الگوریتم ها
۹۶	۴-۵- تحلیل و بررسی دیتا ست
۹۹	۵-۵- ارزیابی F ₁ score
۱۰۲	۶-۵- نتیجه گیری
۱۰۳	منابع
۱۰۸	چکیده انگلیسی

فهرست شکل ها

صفحه	عنوان
۲۸	شکل ۱-۱- آناتومی مغز انسان
۳۴	شکل ۱-۳- محیط نرم افزار آناکندا
۴۰	شکل ۲-۳- ساختار شبکه عصبی مصنوعی
۴۴	شکل ۳-۳- الگوریتم جنگل تصادفی
۴۷	شکل ۳-۴- ماشین بردار پشتیبان
۴۸	شکل ۳-۵- نحوه ساخت ابرسطح جداکننده بین دو طبقه داده در فضای دو بعدی
۹۷	شکل ۵-۱- توزیع داده های مختلف ۲۱ ستون
۹۸	شکل ۵-۲- همبستگی بین داده ها
۱۰۲	شکل ۵-۳- نتایج دقت آموزش و تست در ۳ مدل MLP,SVM,RF

فهرست جدول ها

صفحه	عنوان
۹۹	جدول ۵-۱: محاسبه F_1 score
۱۰۰	جدول ۵-۲: محاسبه معیار پوشش و صحت

چکیده پایان نامه :

مغز یکی از بزرگترین و پیچیده ترین ارگان های بدن انسان است و از بیش از ۱۰۰ بیلیون سلول عصبی و ترلیون ها ارتباط سیناپسی تشکلی شده است. تشنج یکی از مشکلاتی است که برای تعداد افراد زیادی سالانه در دنیا ایجاد میشود که میتواند ناشی از ضربه یا حمله مغزی باشد اما اکثرا دلیل مشخصی برای آن یافت نمیشود. تا به حال پژوهش های متعددی در خصوص تشخیص بیماری صرع با روشهای مختلفی انجام شده است اما در خصوص تشخیص بیماری صرع تمپورال راست از طریق تحلیل تصاویر دریافتی از دستگاه ام آر آی بررسی اندکی شده است. از آنجا که وجود اطلاعات صحیح و منسجم یکی از ملزومات موفقیت در علوم پزشکی مدرن محسوب می شود و اطلاعات شامل دو بخش داده و دانش است که چگونگی جمع آوری ذخیره و بازیابی داده ها در نظریه پایگاه داده مورد مطالعه قرار میگیرد در مهندسی دانش، توجه اصلی به دانش روشهای فرمول بندی و بکارگیری شبکه عصبی آن در علوم مختلف است دانش استنباطی از زمینه ها و عرصه های مورد علاقه کارشناسان و متخصصان یا استنتاجی از مجموعه داده ها می باشد استنتاج دانش از مجموعه داده های معمولا ذخیره شده در پایگاه داده های بزرگ و داده کاوی است. در داده کاوی روشهای جدید در کنار روشهای آماری مورد استفاده قرار میگیرد خاستگاه روشهای جدید هوش مصنوعی است در واقع این روشها با اکتشاف داده ها از پایگاه داده روابط پیش بینی نشده و ناشناخته ی میان آنها را مشخص می کند. در این پروژه بر آن شدیم تا با پیاده سازی الگوریتم های یادگیری ماشین KNN، SVM، MLP، LR و RF به مقایسه ی روش های بعد از عمل تشنج پرداختیم. سپس به مقایسه الگوریتم های پیاده سازی شده پرداخته شد و قابلیت های هر کدام در تست و آموزش انجام شد. در این کار ابتدا بیماران را به عنوان دیتاست هایی از شاخص های قبل عمل و بعد عمل در نظر گرفته شد تا شباهت ها/تفاوت های بین پروفایل های بیماری شناسایی شود. سپس به بررسی روش پیشنهادی برای تشخیص بیماری بعد از تشنج به روش یادگیری ماشین و استفاده از تئوری شبکه عصبی و رگرسیون ماشین بردار پشتیبان

و درخت تصمیم پرداخته شد. و هدف پیش بینی NAM بود. در این تحقیق ابتدا به بررسی الگوریتم های ارایه شده در شناسایی بیماری تشنج پرداخته شد. نهایتا اطلاعات آموزش یافته مدل های یادگیری ماشین محاسبه و در ادامه نتایج و دقت و همگرایی الگوریتم ها بررسی شد. مشخص شد که مدل جنگل تصادفی بهترین مدل پیشنهادی است. در نتیجه الگوریتم جنگل تصادفی به دلیل تجزیه پذیری داده و عدم برازش (overfitting) به نسبت مدل های دیگر بهتر شد و همانطور که مشاهده شد دقت ۰,۹ درصد را بدست آورد.

کلید واژه ها: مغز، صرع، تصویر سازی و تصویر برداری تشدید مغناطیسی، آموزش ماشین

فصل اول: کلیات تحقیق

تشنج یک بیماری نیست و تنها نشانه ای است که از انجام نشدن مناسب کار مغز می گوید. وقتی مغز به طور طبیعی کار کند یک سری امواج الکتریکی ایجاد می کند که این امواج مانند الکتریسیته در مسیر اعصاب مغزی عبور می کنند. در حالت تشنج یک جرقه الکتریسیته مانند برق در آسمان ایجاد می شود که این جرقه و طوفان الکتریکی بسته به محل خود در مغز باعث علایم مختلف شده که نوع تشنج و صرع را تعیین می کنند. اپی لپسی یا صرع حالتی است که یک سری از این تشنج ها و طوفان های الکتریکی در مغز به طور مکرر و با فاصله زمانی به طور خود به خود ایجاد شده و خاموش شوند. اگر چه تشنج از علایم بارز صرع است ولی همه تشنج ها منشا صرعی ندارند تشنج ممکن است به دالیل مختلف ایجاد شود. بنابراین یک بار تشنج هیچ گاه صرع محسوب نمی شود، بلکه دو و یا سه بار تشنج باید رخ دهد تا پزشک تشخیص بیماری صرع را مطرح کند [۱]. صرع به علت تخلیه الکتریکی غیر طبیعی در گروهی از نورون های مغزی است که باعث بروز تشنج های مکرر می شود [۲] و پس از سکتة مغزی، دومین عامل بیماری های سیستم عصبی مرکزی می باشد و حدود ۵/۰ تا ۱ درصد مردم دنیا به این بیماری مبتلا هستند [۳]. صرع عبارت اند از مجموعه ای از اختلالات عصبی مزمن پزشکی بلند مدت که با حمله ی صرعی مشخص شده است این حالت ممکن است بسیار خفیف باشد و یا طولانی مدت و با لرزش شدید اندام ها همراه است. در صرع حملات به طور مکرر روی می دهد.

با توجه به سلول های آسیب دیده ی قشر مغز، حملات صرع به دو نوع حملات صرعی جزئی و عمومی تقسیم شده است. جهت تشخیص صرع تفاوت های سیگنال های مغزی در افراد نرمال، صرع خفیف و صرع شدید مورد بررسی قرار داده شده است. روش های مختلفی برای تشخیص صرع ارائه شده است که عبارت اند از تشخیص به وسیله دستگاه الکتروانسفالوگراف با قرار دادن الکترودهایی روی پوست سر و ثبت سیگنال های مغزی، انواع اسکن های مغزی مانند CT (ترموگرافی کامپیوتری)، PET (ترموگرافی از طریق انتشار پوزیترون)، MRI (تصویر

برداری به وسیله میدان مغناطیسی تشدید شده) و SPECT (توموگرافی کامپیوتری به وسیله انتشار یک نوترون) [۴].

از آن جا که صرع بیماری شایعی است و بیشتر در سنین جوانی اتفاق می افتد، عدم توجه به آن می تواند بر سطح علمی و رفتار اجتماعی فرد و اقتصاد و سازندگی یک کشور تاثیر منفی داشته باشد. اپیدمیولوژی این بیماری با توجه به عوامل مختلفی از جمله هرم سنی، نوع و روش تغذیه، تفاوت های جغرافیایی و ... متفاوت است. بنابراین بررسی آن در هر منطقه ای به منظور تسهیل در تشخیص و درمان آن ضروری به نظر می رسد. میزان شیوع صرع در ایران یک تا سه درصد کل جمعیت برآورد شده است [۵].

MRI روشی است که می توان با کمک گرفتن از آن تصاویر بسیار دقیق و واضحی از اندامهای درون بدن بدست آورد. [۶] در این نوع تصویر برداری، تصاویر کامال تفکیک شده ای از بخش های مختلف مغز گرفته می شود. وضعیت بیماران مبتال به سردرد حمله ای و ناگهانی؛ ضعف و دور بینی، با MRI مغز قابل بررسی است MRI . مغز برای تکمیل تصویربرداری به وسیله سی تی اسکن و در مواردی نامشخص بودن تصاویر دریافتی به وسیله CT - scan نیز استفاده میشود. این مطالعه با هدف تشخیص بیماری صرع تمپورال راست از طریق تحلیل تصاویر دریافتی با دستگاه MRI می باشد.

تا به حال پژوهش های متعددی در خصوص تشخیص بیماری صرع با روشهای مختلفی انجام شده است اما در خصوص تشخیص بیماری صرع تمپورال راست از طریق تحلیل تصاویر دریافتی از دستگاه ام آر آی بررسی اندکی شده است.

در مطالعه ای که در سال ۲۰۰۹ توسط WD GALLARD و همکاران در امریکا به انجام رسید گایدالین تصویربرداری در کودکان و نوزادان با بروز تشنج اخیر مورد ارزیابی قرار گرفت. در این مطالعه که به صورت Review انجام شد، تمام مقالاتی که به صورت گذشته و با آینده نگر با تعداد نمونه بیش از ۳۰ مورد که در آنها scan - CT یا MRI در بررسی کودکان با تشنج مورد

استفاده قرار گرفته بود مطالعه شدند. نتایج مطالعه نشان داد بهترین موارد استفاده از تصویربرداری در چنین کودکانی مواردی است که درگیری قسمتی از مغز مورد شک بوده و یا سندرم های مربوط به صرع مورد نظر می باشد. از میان این دو روش تصویربرداری، MRI با توجه به دقت بالاتر و اشعه کمتر بیش از scan - CT مورد قبول می باشد [۷].

در مطالعه ای که در سال ۲۰۰۵ توسط G GUSSARD و همکاران در فرانسه به انجام رسید تصویر برداری در صرع کودکان مورد بررسی قرار گرفت. در این مطالعه که به صورت مروری به انجام رسید نتایج مطالعه نشان داد انجام MRI نسبت به scan - CT در بررسی کودکان مبتال به صرع عالمت دار ارزشمندتر می باشد، انجام scan CT - در موارد اورژانسی و همچنین جهت دادههای تکمیلی MRI همچون بافتن کلسیفیکاسیون ها می تواند مفید باشد MRI. این امکان را به پزشک میدهد که در موارد تشنج تکرار شونده بیمار را پیگیری کرده و نیز در تعیین پروگنوز مفید می باشد [۸].

در مطالعه ای که در سال ۲۰۰۲ توسط RC Scott و همکاران در انگلستان به انجام رسید نتایج انجام MRI در طی ۵ روز نخست بعد از بروز صرع Status در کودکان مورد بررسی قرار گرفت. در این مطالعه ۳۵ بیمار وارد مطالعه شدند. نتایج مطالعه نشان

داد اندازه هیپوکامپ در بیماران با تشنج بدون تب طول کشیده بیش از جمعیت نرمال بوده است. در نتایج MRI بیماران با تشنج بدون تب طول کشیده نشان داد که در این بیماران تغییرات گسترده ای در MRI مشهود است مانند افزایش سیگنال در T2 [۹] در مطالعه ای که در سال ۲۰۱۲ توسط M young و همکاران در آمریکا به انجام رسید ، لزوم استفاده از MRI در پیگیری کودکان با SPILEPTICUS STATUS CONVULSIVE مورد بررسی قرار گرفت. در این مطالعه ۸۰ بیمار در رده سنی یک ماه تا ۱۶ سال وارد مطالعه شدند و در طی ۱۳ هفته از بروز تشنج از آنها MRI گرفته شد. نتایج مطالعه نشان داد انجام MRI مغز در چنین کودکانی به خصوص در مواردی که قبلاً MRI انجام نشده است، اختلالات نورولوژیک پایدار ایجاد شده است و در کسانی که حملات تکرار شده است می تواند مفید باشد [۱۰].

در مطالعه ای که در سال ۲۰۰۴ توسط WoneladaromS و همکاران در تایلند به انجام رسید انجام MRI در کودکان مبتال به صرع مورد بررسی قرار گرفت. در این مطالعه که به صورت گذشته نگر به انجام رسید ۱۰۰ بیمار با سن کمتر از ۱۵ سال وارد مطالعه شدند. نتایج مطالعه نشان داد MRI با نشان دادن اختلالات موجود در مغز اتیولوژی صرع را حدی تعیین می کند [۱۱]. در مطالعه ای که در سال ۲۰۰۰ توسط J Maytal و همکاران در آمریکا به انجام رسید نقش CT - scan در بررسی کودکان با اولین حمله تشنج در اورژانس مورد بررسی قرار گرفت. در این مطالعه ۶۶ بیمار با میانگین سنی ۴/۹ سال و به صورت گذشته نگر مورد بررسی قرار گرفتند. نتایج مطالعه نشان داد تنها ۲۱/۲٪ بیماران مورد بررسی دارای نتایج CT - scan غیر طبیعی بودند که نشان داد انجام CT - scan در چنین کودکانی باید به اندیکاسیون های خاصی محدود شود [۱۲]. در مطالعه ای که در سال ۱۹۹۸

توسط MA Garvey و همکاران در آمریکا به انجام رسید انجام CT - scan در کودکان با تب مورد ارزیابی قرار گرفت. در این مطالعه ۱۰۷ بیمار به صورت گذشته نگر وارد مطالعه شدند. نتایج مطالعه نشان داد در یک کودک با تشنج با تب در CT معمول ضایعه غیر طبیعی دیده نمی شود [۱۳].

در مطالعه ای که در سال ۱۳۸۷ توسط فالج و همکاران در یزد انجام شد نتایج CT - scan مغزی کودکان و ارتباط یافته های آن با علت درخواست CT - scan مورد بررسی قرار گرفت. در این مطالعه که به صورت مقطعی به انجام رسید ۱۰۰ کودک وارد مطالعه شدند. نتایج مطالعه نشان داد CT - scan در مننژیت بدون اختلال هوشیاری و اولین تشنج ژنرالیزه و با معاینه عصبی نرمال، بدون عائلیم خطر چندان کمک کننده نبود و MRI در تشخیص تأخیر تکاملی و اختلال ساختمانی مغز مفیدتر می باشد [۱۴].

در مطالعه ای که در سال ۱۳۸۷ توسط ناصحی و همکاران در مازندران به انجام رسید یافته های پاراکلینیک و نتایج درمانی در کودکان مبتال به صرع مقاوم مورد بررسی قرار گرفت. در این مطالعه که به صورت مقطعی انجام شد نتایج مطالعه نشان داد نتایج سی تی اسکن در ۳/۳۹٪ و MRI در ۷/۴۲٪ بیماران غیر طبیعی بوده است [۱۵].

۱-۳- اهداف تحقیق

تعیین و مقایسه باند طیف و تغییرات غیرطبیعی بودن MRI برای مغز افراد به مبتال صرع تمپورال راست

تعیین باند تتا MRI مغز غیر طبیعی افراد مبتلا به صرع تمپورال راست و افراد سالم

تعیین باند دلتا MRI غیرطبیعی بودن بدون تزریق مغز افراد مبتال به صرع تمپورال راست و افراد سالم

تعیین باند گاما MRI غیرطبیعی بودن بدون تزریق مغز افراد مبتال به صرع تمپورال راست و افراد سالم

فصل دوم: مبانی نظری تحقیق و کارهای پیشین

۱-۲- آناتومی و فیزیولوژی مغز

مغز یکی از بزرگترین و پیچیده ترین ارگان های بدن انسان است و از بیش از ۱۰۰ بیلیون سلول عصبی و ترلیون

ها ارتباط سیناپسی تشکلی شده است

مغز از تعداد زسادی ناحیه ی اختصاص یافته که با هم کار میکنند، تشکیل شده است

۱- Cortex یا غشا که خارجی ترین لایه مغز است و تفکر از این ناحیه آغاز میشود

۲- ریشه یا stem که بین نخاع و باقی مغز واقع شده است و اعمال اساسی مانند تنفس و خواب در این بخش کنترل می شود

۳- گره های پایه ای (basal ganglion) دسته هایی ساختاری در مرکز مغز هستند که این بخش پیام های بین بخش های

مختلف مغز را هماهنگ میکند

۴- مخچه (cerebellum) در پایه و پشت مغز واقع شده که وظیفه هماهنگی و تعادل بدن را دارد.

همچنین مغز به چند بخش (lobe) تقسیم میشود

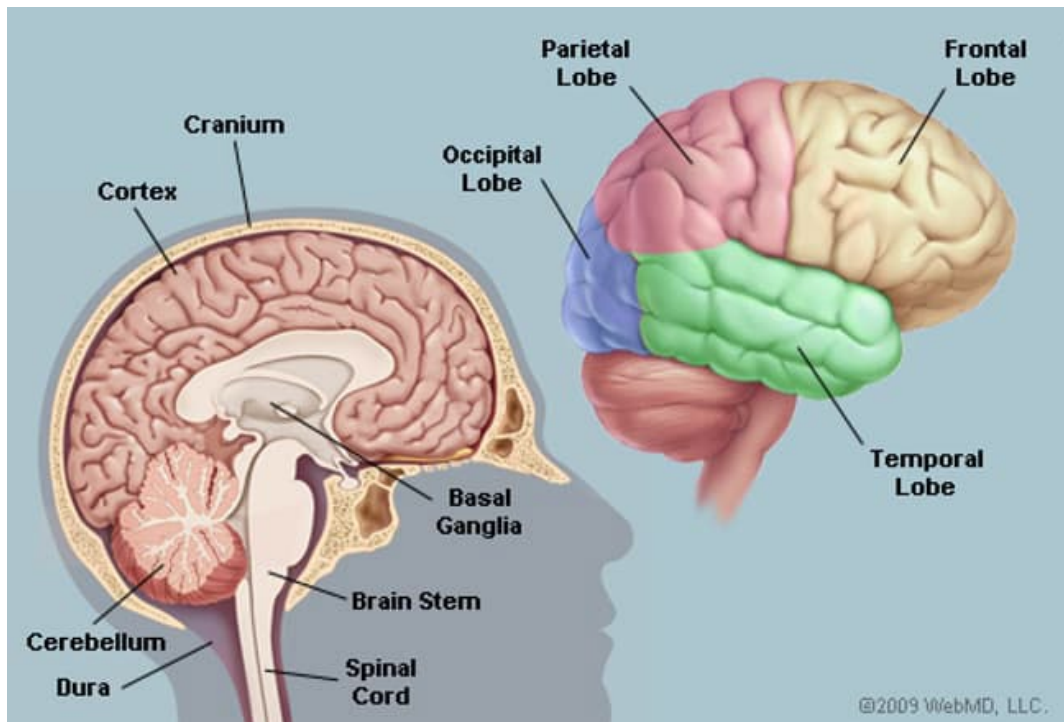
۱- Frontal که مسول حل مساله و قضاوت را دارد

۲- Parietal که دست خط، لامسه و پوزیشن بدن را مدیریت میکند

۳- Temporal که بخش حافظه و شنیداری را شامل میشود

۴- Occipital که حاوی سیستم پردازش بصری است [۱۶] .

در شکل زیر بخش های مختلف مغز را مشاهده کنید.



شکل ۱-۱- آناتومی مغز انسان

مشکلات مغز شامل موارد زیر است

Headache	۴-۱-
Stroke	۵-۱-
Brain aneurysm	۶-۱-
Subdural hematoma	۷-۱-
Epidural hematoma	۸-۱-
Intracerebral hemorrhage	۹-۱-
Concussion	۱۰-۱-
Cerebral edema	۱۱-۱-
Brain tumor	۱۲-۱-
Glioblastoma	۱۳-۱-
Hydrocephalus	۱۴-۱-
Normal pressure hydrocephalus	۱۵-۱-
Meningitis	۱۶-۱-
Encephalitis	۱۷-۱-
Traumatic brain injury	۱۸-۱-
Parkinson's disease	۱۹-۱-
Huntington's disease	۲۰-۱-

Epilepsy	-۲۱-۱
Dementia	-۲۲-۱
Alzheimer's disease	-۲۳-۱
Brain abscess	-۲۴-۱

به جهت سنجش و ارزیابی سلامتی مغز تست های مختلفی از جمله موارد زیر انجام میشود.

Computed tomography (CT scan)	-۲۵-۱
Magnetic resonance imaging (MRI scan)	-۲۶-۱
Angiography (brain angiogram)	-۲۷-۱
Magnetic resonance angiography (MRA)	-۲۸-۱
Lumbar puncture (spinal tap)	-۲۹-۱
Electroencephalogram (EEG)	-۳۰-۱
Neurocognitive testing	-۳۱-۱
Brain biopsy	-۳۲-۱

درمان هایی که بر روی مغز انجام میشود شامل موارد زیر است

Antiplatelet agents Thrombolytics	-۱
Cholinesterase inhibitors	-۲
Antibiotics	-۳
Levodopa	-۴
Brain surgery	-۵
Ventriculostomy	-۶
Craniotomy	-۷
Lumbar drain	-۸
Radiation therapy	-۹

۲-۲- تاریخچه neuroimaging

اولین تصویربرداری مغز توسط Angelo Mosso در سال ۱۸۸۰ ابداع شد که بیش از یک قرن ناشناخته ماند ولی متغیرهایی مانند نسبت سیگنال به نویز که همچنان کاربرد دارند توسط او تعریف شد [۱۷]. در این روش اندازه گیری غیرتهاجمی وابسته به خون محیطی مغز هنگام احساسات و فعالیت های هوشی انجام شد [۱۸]. سپس در آغاز سال های ۱۹۰۰ (Walter Dandy جراح مغز و اعصاب) تکنیک با استفاده از مایع مغزی نخاعی اطراف مغز و جایگزینی آن با حباب هوا برای تصویربرداری اشعه ایکس بهتر، برنامه ریزی شد که روشی بسیار ناایمن با خطر افزایش فشار مغز و عفونت بود پس MRI و CT در سال های ۱۹۷۰ گسترش پیدا کرد که در عین داشتن ایمنی بالاتر، جزییات بیشتری از مغز را آشکار میکرد [۱۹ و ۲۰].

در سال ۱۹۲۷ انژیوگرافی عروق مغزی توسط Egas Moniz ارایه شد که برنده نوبل فیزیولوژی شد از سال ۱۹۶۰ روشهای مختلفی برای تحلیل تصاویر در موسسه ماساچوست دانشگاه مریلند به جهت بهبود تصاویر آغاز شد و هزینه های تحلیل در آن زمان بالا بود (William H. Oldendorf) [۲۱]. اکنون روش های SPECT و PET Scan در حال اجرا و پیشرفت است پراکه تنها ماند ام آر آی و سی تی اسکن تنها تصویر استاتیک ایجاد نمیکند بلکه عملکرد مغز را نیز بررسی میکند و دانشمندان با استفاده از MRI و CT و SPECT تصاویر FMRI را ایجاد کردند که دری به سوی مشاهده فعالیت مغزی باز کرده است.

بیماری صرع در زمان های خیلی قدیم وجود داشته و در زمان رونسانس به نظر میرسید که فقط درمان آن از طریق مذهب صورت میگرفته است. نزدیک اواخر قرن ۱۴ پزشکان وارد عرصه شده و به بررسی عوامل ایجاد اپیلپسی و ارتباط بیماری به تومورها و بیماری ها و جمع آوری اطلاعات پرداختند [۲۲].

اواخر قرن ۱۹ تعریفی پاتوفیزیولوژیکی توسط Jackson ارائه شد که در آن بیماری اپیلپسی دسته بندی شد و نتایج آن نیز با انسفالوگرام قابل تایید بود و در صورتی که هر دو بخش مغز هنگام تشنج درگیر بود نام دسته بندی اپیلپسی جنرال بر روی آن گذاشته شد [۲۳ و ۲۴].

صرع یا اپیلپسی عبارت است از مجموعه ای از اختلالات عصبی مزمن پزشکی یا بلند مدت که با حمله صرعی مشخص می شود [۲۵]. این حملات ممکن است بسیار خفیف و تقریباً غیرقابل شناسایی بوده یا برعکس طولانی مدت و بالرزش شدید همراه باشد [۲۶]. در صرع حملات به طور مکرر روی می دهد و هیچ دلیل ثابت و مشخصی ندارد، در حالی که حملاتی را که به دلایل خاص روی می دهد، نباید به عنوان حمله صرعی تلقی کرد [۲۷].

در بیشتر موارد دلیل نامشخص است، اما صرع در برخی افراد به دلیل آسیب مغزی، سرطان مغز، و سوء مصرف دارو و الکل، و دلایل دیگر ایجاد می شود. حملات صرعی نتیجه فعالیت سلولی بیش از حد و غیرعادی عصب کورتیکال یا غشایی در مغز است. فرایند تشخیص معمولاً شامل حذف تمام شرایطی است که ممکن است علائم مشابهی نظیر سنکوپ را ایجاد کند، و نیز بررسی اینکه آیا هیچ دلیل لحظه ای دیگری وجود داشته است یا خیر. صرع را می توان با گرفتن نوار مغزی یا الکتروانسفالوگرافی نیز تأیید کرد.

صرع را نمی توان درمان کرد، اما حملات را می توان با دارو تا حدود ۷۰ درصد موارد کنترل کرد [۲۸]. در افرادی که حملات به دارو پاسخ نمی دهند، جراحی، تحریک عصبی یا تغییر در رژیم غذایی را می توان در نظر گرفت. تمامی سندرم های صرع مادام العمر نیستند و اکثر افراد تا جایی بهبود می یابند که دیگر نیازی به دارو ندارند.

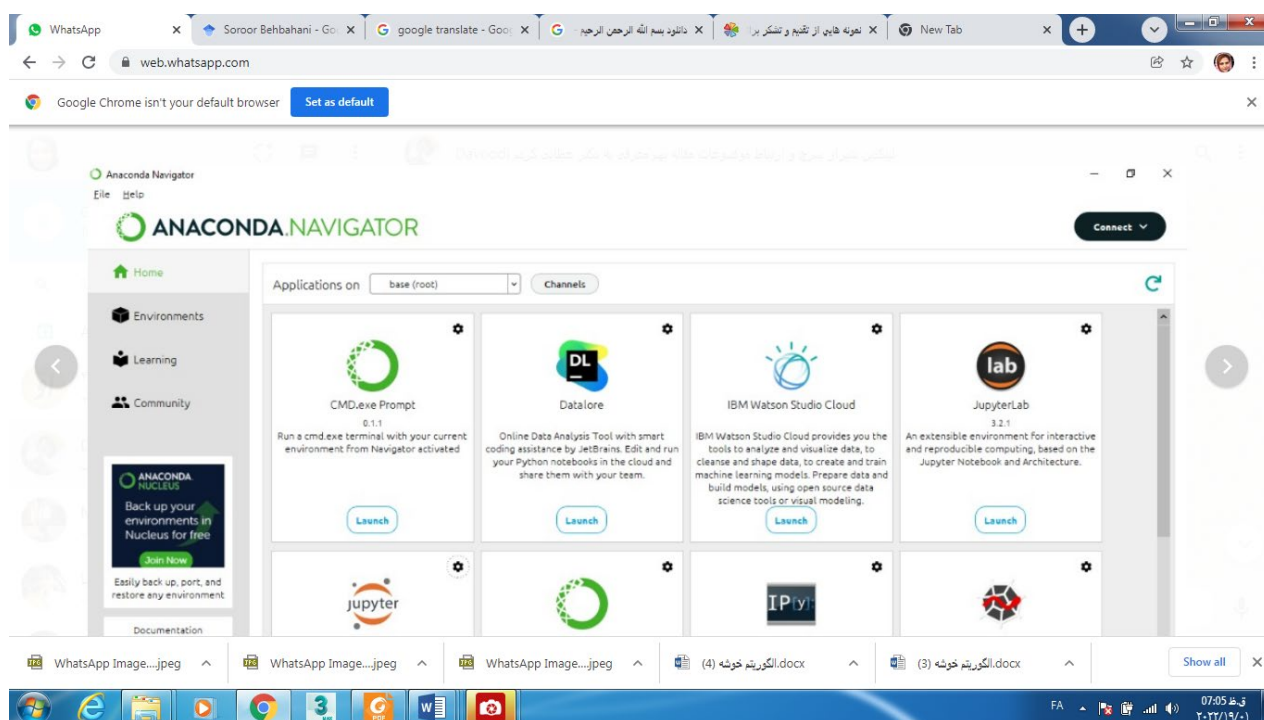
حدود ۱٪ درصد از جمعیت مردم جهان (۶۵ میلیون نفر) صرع دارند [۲۹] و تقریباً ۸۰٪ موارد در کشورهای در حال توسعه روی می‌دهند. صرع در افراد مسن‌تر رایج‌تر است [۳۰ و ۳۱]. در کشورهای توسعه یافته، شیوع موارد جدید بیشتر در نوزادان و سالمندان است [۳۲]. در کشورهای در حال توسعه این بیماری در کودکان بزرگتر و بزرگسالان جوان‌تر دیده می‌شود [۳۳] که دلیل آن تفاوت در فراوانی دلایل اصلی است. حدود ۵ تا ۱۰٪ از تمامی افراد یک حمله بی‌دلیل تا سن ۸۰ سالگی دارند [۳۴] و احتمال وقوع حمله دوم نیز بین ۴۰ و ۵۰٪ است [۳۵]. در بسیاری از نقاط دنیا افراد مبتلا به صرع حق رانندگی مشروط داشته یا کلاً حق رانندگی ندارند [۳۶] اما بیشتر این افراد بعد از یک مدت بدون حمله می‌توانند رانندگی را مجدداً آغاز کنند. متخصصان معتقدند حدود ۷۰ تا ۸۰ درصد بیماری صرع پس از دو سال معالجه، به‌طور کامل درمان می‌شود و پزشک معالج می‌تواند داروی بیمار را قطع کند [۳۷].

در پژوهشی که توسط فخوری و همکارانش [۳۸] انجام شد ۱۲۷ مورد حمله تشنجی در ۱۹ بیمار دارای صرع تمپورال به روش EEG مورد ارزیابی قرار گرفت و نتایج نشان داد که در صرع تمپورال چپ، حرکات تشنجی شدیدتر و همچنین تشنج‌های ثانویه بیشتری نسبت به بقیه رخ داد و در مقابل مشکلات گفتاری و برگشت سریعتر به حالت نرمال بیشتر در صرع تمپورال راست رخ می‌دهد.

فصل سوم: روش پیشنهادی

۳-۱- داده کاوی بر اساس پایتون

پروژه بر روی سیستم ویندوز اجرا میشود. با نصب برنامه آناکوندا پایتون و پکیج های آن نیز نصب میشود که در این صورت اشکالات فنی پیاده سازی در کمترین میزان خود قرار خواهد گرفت در شکل زیر محیط این نرم افزار را مشاهده میکنید



شکل ۳-۱- محیط نرم افزار آناکوندا

پس از نصب در بخش jupyterlab که محیطی live code برای پایتون است وارد شده و کدهای برنامه نوشته میشود.

دیتاست :

برای طبقه‌بندی نتایج بعد از عمل جراحی صرع، جروم انگل طرح زیر را پیشنهاد کرد [۳۹ و ۴۰] مقیاس نتیجه جراحی صرع انگل، که به استاندارد واقعی برای گزارش نتایج در ادبیات پزشکی تبدیل شده است:

کلاس I: بدون تشنج ناتوان کننده

کلاس II: تشنج های ناتوان کننده نادر (تقریباً بدون تشنج)

کلاس III: بهبود ارزشمند

کلاس IV: هیچ پیشرفت قابل توجهی وجود ندارد

ENG_b: Engel score = 1 (1 = ENG+); Engel score = 2, 3 or 4 (2 = ENG-)

- (ENG+) optimal postoperative clinical outcome: the Engel score of I, no seizures observed 2 years after surgery;

(ENG-) suboptimal postoperative clinical outcome: the Engel score of II-IV: persistence of more or less frequent and more or less severe seizures 2 years after surgery;

- (NAM+) optimal postoperative naming outcome: the naming score at 2 years after surgery did not decline or even improved compared to the presurgical baseline;

- (NAM-) suboptimal postoperative naming outcome: the naming score at 2 years after surgery has decreased compared to the presurgical baseline

Surgery information

AGE: Age at time of neurosurgery (in years)

DIST: distance of the post-op workup from the date of surgery (in years)

ENG: Engel score at two years post-surgery (Engel, 1993, 2013)

ENG_b: Engel score = 1 (1 = ENG+); Engel score = 2, 3 or 4 (2 = ENG-)

NAM: Naming DO80 at two years post-surgery (Metz-Lutz et al., 1991)

NAM_b: NAM Reliable Change Index > -1.28 SD (1 = NAM +); NAM RCI ≤ -1.28 SD (2 = NAM-)

Demographics

AGE: Age of patient (in years)

EDU: Educational level (in years)

GEN: Gender (Male/Female)

HDS: Handedness (Edinburgh laterality index)

HDS_b: Handedness (Left/Right)

Epilepsy related information

HEM: Hemispheric lateralization of the temporal lobe epilepsy (L = Left; R = right)

ASO: Age of seizures onset (in years)

AHS: Hippocampal asymmetry (absolute volume difference)

DUR: Duration of the epilepsy (in years)

DUR_b: Duration ≤ 15 years (1); > 15 years (2)

HS_b: Hippocampal sclerosis (yes/no)

FRQ: Frequency of seizures (by months)

AED: Antiepileptic drugs (daily taken)

SEV: Severity of the epilepsy (composite score deriving from DUR, FRQ and AED)

SEV_b: Severity composite score ≤ 6 (1); > 6 (2)

۲-۳- داده کاوی در علوم پزشکی

کاوش داده به زیر شاخه ای از علم آمار به نام « تحلیل اکتشافی داده » مرتبط است که در حوزه ی ارقام آماری، اهداف و رویکرد های مشابهی با یکدیگر دارند. همچنین با بخش هایی از علم هوش مصنوعی بنام کشف دانش و یادگیری ماشینی ارتباط بسیار تنگاتنگی دارد. اما ویژگی مهم و متمایز داده کاوی آن است که با حجم داده ی بسیار بالایی سر و کار دارد. با این وجود ایده ها و تکنیک های این حوزه های مطالعاتی مرتبط، در مسایل داده کاوی نیز قابل استفاده هستند. مقیاس پذیری به نسبت سائز داده یک معیار مهم و جدید در مفاهیم کاوش داده است [۳۹].

یافتن روشها و الگو های مفید در پایگاه های داده یک تعریف از داده کاوی است. در واقع می توان تصور کرد که تمامی جستجو های پایگاه داده چنین هستند.

۳-۲-۱- تعریف تئوریک از داده کاوی

داده کاوی عبارت است از فرآیند (نیمه) خودکار استخراج دانش (در قالب الگوهای پنهان) از مجموعه اطلاعات ورودی. معمولاً آگاهی اندکی در مورد دانش هدف وجود دارد و ورودی عمدتاً بسیار حجیم و پردازش دستی آن ناممکن است.

نتایج حاصل از داده کاوی، با روشهای سنتی پردازش اطلاعات (گزارش گیری) قابل دستیابی نیست و خودکار یا نیمه خودکار بودن داده کاوی به معنای حداقل نیاز به دخالت کاربر است. انواع اطلاعات (و نه صرفاً اطلاعات عددی) در داده کاوی قابل پردازش می باشند.

۳-۲-۲- شبکه عصبی در داده کاوی

وجود اطلاعات صحیح و منسجم یکی از ملزومات موفقیت در علوم پزشکی مدرن محسوب می شود. اطلاعات شامل دو بخش داده و دانش است که چگونگی جمع آوری ذخیره و بازیابی داده ها در نظریه پایگاه داده مورد مطالعه قرار میگیرد در مهندسی دانش توجه اصلی به دانش روشهای فرمول بندی و بکارگیری شبکه عصبی آن در علوم مختلف است دانش استنباطی از زمینه ها و عرصه های مورد علاقه کارشناسان و متخصصان یا استنتاجی از مجموعه داده ها می باشد استنتاج دانش از مجموعه داده های معمولاً ذخیره شده در پایگاه داده های بزرگ داده کاوی نامیده می شود روشهای آماری همچون شبکه عصبی جزء روشهای کلاسیک استنتاج دانش به شمار می آیند [۴۰]. در داده کاوی روشهای جدید در کنار روشهای آماری مورد استفاده قرار میگیرد خاستگاه روشهای جدید هوش مصنوعی است در واقع این روشها با اکتشاف داده ها از پایگاه داده روابط پیش بینی نشده و ناشناخته ی میان آنها را مشخص می کند.

۳-۳- کاربردهای داده کاوی

کاربردهای تجاری: تقریباً در تمام سازمانها و انواع تجارتها، به دلیل وجود اطلاعات، می توان داده کاوی را

مورد استفاده قرار داد از جمله در :

- پیش بینی بیماری [۴۱]
 - تحلیل سبد خرید [۴۲]
 - شناسایی طبقات بیماری های مختلف [۴۳]
 - تعیین میزان تاثیر عوامل مختلفی نظیر تبلیغات، تخفیف، ... بر میزان و الگوهای فروش [۴۴]
- کاربردهای علمی: مثلاً اطلاعات جمع آوری شده در حوزه های مختلف شامل اطلاعات جغرافیائی، اطلاعات اقلیمی، اطلاعات پزشکی، نیاز مبرم به تکنیکهای داده کاوی، حداقل جهت ایجاد امکان تصور اطلاعات برای متخصصان احساس می شود.
- حوزه پزشکی: تشخیص بیماریها براساس انواع اطلاعات (تصاویر پزشکی، مشخصات بیمار احتمالی) تشخیص ناهنجاریهایی که توسط انسان به سختی قابل تشخیص خواهند بود (لکه ها و نقاط خاص داخل چشم که نشانه شروع کوری ناشی از دیابت می باشد)

در حالت کلی، یک شبکه عصبی زیستی از مجموعه یا مجموعه‌ای از نورون‌های به صورت فیزیکی به هم متصل یا از لحاظ عملکردی به هم وابسته تشکیل شده‌است. هر نورون می‌تواند به تعداد بسیار زیادی از نورون‌ها وصل باشد و تعداد کل نورون‌ها و اتصالات بین آن‌ها می‌تواند بسیار زیاد باشد. اتصالات، که به آن‌ها سیناپس گفته می‌شود، معمولاً از آکسون‌ها و دندریت‌ها تشکیل شده‌اند. هوش مصنوعی و مدل سازی شناختی سعی بر این دارند که بعضی از خصوصیات شبکه‌های عصبی را شبیه سازی کنند. این دو اگرچه در روش‌هایشان به هم شبیه هستند اما هدف هوش مصنوعی حل مسائل مشخصی است در حالی که هدف مدل سازی شناختی ساخت مدل‌های ریاضی سامانه‌های نورونی زیستی است. روشی برای محاسبه است که بر پایه اتصال به هم پیوسته چندین واحد پردازشی ساخته می‌شود. شبکه از تعداد دلخواهی نرون تشکیل می‌شود که مجموعه ورودی را به خروجی ربط می‌دهند. هر نورون می‌تواند به تعداد بسیار زیادی از نرون‌ها وصل باشد و تعداد کل نرون‌ها و اتصالات بین آن‌ها می‌تواند بسیار زیاد باشد [۴۵].

یک نورون مصنوعی سامانه‌ای است با تعداد زیادی ورودی و تنها یک خروجی. نورون دارای دو حالت می‌باشد، حالت آموزش و حالت عملکرد. در حالت آموزش نورون یاد می‌گیرد که در مقابل الگوهای ورودی خاص برانگیخته شود و یا در اصطلاح آتش کند. در حالت عملکرد وقتی یک الگوی ورودی شناسایی شده وارد شود، خروجی متناظر با آن ارائه می‌شود. اگر ورودی جزء ورودی‌های از پیش شناسایی شده نباشد، قوانین آتش برای برانگیختگی یا عدم آن تصمیم گیری می‌کند. با کنار گذاشتن برخی از خواص حیاتی نورون‌ها و ارتباطات درونی آنها می‌توان یک مدل ابتدایی از نورون را به وسیله کامپیوتر شبیه سازی کرد.

شبکه های عصبی مصنوعی (Artificial Neural Network) الگویی برای پردازش اطلاعات می باشند که با تقلید از شبکه های عصبی بیولوژیکی مثل مغز انسان ساخته شده اند. عنصر کلیدی این الگو ساختار جدید سیستم پردازش اطلاعات آن می باشد و از تعداد زیادی عناصر (نرون) با ارتباطات قوی داخلی که هماهنگ با هم برای حل مسائل مخصوص کار می کنند تشکیل شده اند. شبکه های عصبی مصنوعی با پردازش روی داده های تجربی، دانش یا قانون نهفته در ورای داده ها را به ساختار شبکه منتقل می کند که به این عمل یادگیری می گویند. اصولاً توانایی یادگیری مهمترین ویژگی یک سیستم هوشمند است. سیستمی که بتواند یاد بگیرد منعطف تر است و ساده تر برنامه ریزی میشود، بنابراین بهتر میتواند در مورد مسایل و معادلات جدید پاسخگو باشد. انسانها از زمانهای بسیار دور سعی بر آن داشتند که بیوفیزیولوژی مغز را دریابند چون همواره مسئله هوشمندی انسان و قابلیت یادگیری، تعمیم، خلاقیت، انعطاف پذیری و پردازش موازی در مغز برای بشر جالب بوده و بکارگیری این قابلیت ها در ماشینها بسیار مطلوب می نمود. روشهای الگوریتمیک برای پیاده سازی این خصایص در ماشین ها مناسب نمی باشند در نتیجه می بایست روشها مبتنی بر همان مدل های بیولوژیکی باشد. درست مثل انسان ها با استفاده از مثال ها آموزش می بیند، همانطور که یک بچه با دیدن انواع مختلف از یک حیوان قادر به تشخیص آن می باشد. به عبارت دیگر شبکه عصبی مصنوعی یک سامانه پردازشی داده ها است که از مغز انسان ایده گرفته و پردازش داده ها را به عهده پردازنده های کوچک و بسیار زیادی سپرده که به صورت شبکه ای به هم پیوسته و موازی با یکدیگر رفتار می کنند تا یک مسئله را حل نمایند. در این شبکه ها به کمک دانش برنامه نویسی، ساختار داده ای طراحی می شود که می تواند همانند نرون عمل کند. که به این ساختار داده گره گفته می شود. بعد با ایجاد شبکه ای بین این گره ها و اعمال یک الگوریتم آموزشی به آن، شبکه را آموزش می دهند. در این حافظه یا شبکه عصبی گره ها دارای دو حالت فعال (روشن یا ۱) و غیرفعال (خاموش یا ۰) اند و هر یال (سیناپس یا ارتباط بین گره ها) دارای یک وزن می باشد. یال های با وزن مثبت، موجب تحریک یا فعال کردن گره غیر فعال بعدی می شوند و یال های با وزن منفی، گره متصل بعدی را غیر فعال یا مهار (در صورتی که فعال بوده باشد) می کنند [۴۵].

۳-۵- ساختار شبکه‌های عصبی:

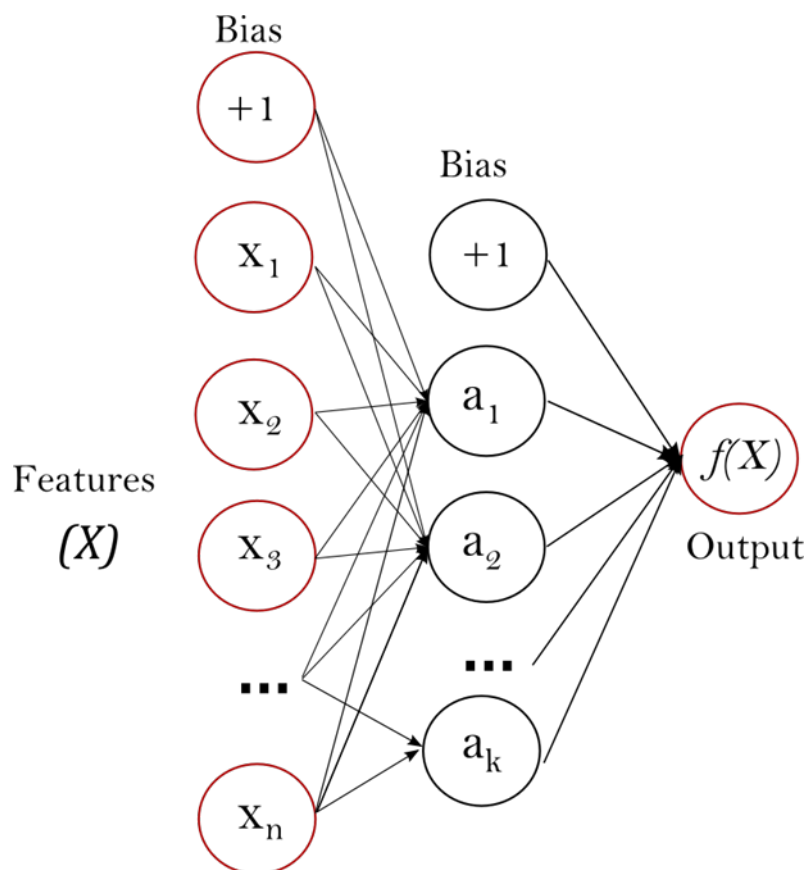
یک شبکه عصبی شامل اجزای سازنده لایه‌ها و وزن‌ها می‌باشد. رفتار شبکه نیز وابسته به ارتباط بین اعضا است.

در حالت کلی در شبکه‌های عصبی سه نوع لایه نورونی وجود دارد [۴۵]:

۱. لایه ورودی: دریافت اطلاعات خامی که به شبکه تغذیه شده‌است.

۲. لایه‌های پنهان: عملکرد این لایه‌ها به وسیله ورودی‌ها و وزن ارتباط بین آنها و لایه‌های پنهان تعیین می‌شود.

وزن‌های بین واحدهای ورودی و پنهان تعیین می‌کند که چه وقت یک واحد پنهان باید فعال شود.



شکل ۳-۲- ساختار شبکه عصبی مصنوعی

۳. لایه خروجی : عملکرد واحد خروجی بسته به فعالیت واحد پنهان و وزن ارتباط بین واحد پنهان و خروجی می باشد.

شبکه های تک لایه و چند لایه ای نیز وجود دارند که سازماندهی تک لایه که در آن تمام واحدها به یک لایه اتصال دارند بیشترین مورد استفاده را دارد و پتانسیل محاسباتی بیشتری نسبت به سازماندهی های چند لایه دارد. در شبکه های چند لایه واحدها به وسیله لایه ها شماره گذاری می شوند (به جای دنبال کردن شماره گذاری سراسری). هر دو لایه از یک شبکه به وسیله وزن ها و در واقع اتصالات با هم ارتباط می یابند. در شبکه های عصبی چند نوع اتصال و یا پیوند وزنی وجود دارد: پیشرو : بیشترین پیوندها از این نوع است که در آن سیگنال ها تنها در یک جهت حرکت می کنند. از ورودی به خروجی هیچ بازخوردی (حلقه) وجود ندارد. خروجی هر لایه بر همان لایه تاثیری ندارد. پسرو : داده ها از گره های لایه بالا به گره های لایه پایین بازخورانده می شوند. جانبی : خروجی گره های هر لایه به عنوان ورودی گره های همان لایه استفاده می شوند.

۳-۵-۱- شبکه عصبی پرسپترون:

این شبکه عصبی بر مبنای یک واحد محاسباتی به نام پرسپترون ساخته می شود. یک پرسپترون برداری از ورودیها با مقادیر حقیقی را گرفته و یک ترکیب خطی از ورودی ها را محاسبه می کند. اگر حاصل از یک مقدار آستانه بیشتر بود خروجی پرسپترون برابر با 1 و در غیر این صورت معادل 1- خواهد بود. شبکه های عصبی پرسپترون، به ویژه پرسپترون چند لایه در زمره کاربردی ترین شبکه های عصبی می باشند، این شبکه ها قادرند با انتخاب مناسب تعداد لایه ها و سلول های عصبی، که اغلب هم زیاد نیستند، یک نگاشت غیر خطی را با دقت دلخواه انجام دهند [۴۶]

۳-۶- تقسیم بندی شبکه‌های عصبی :

بر مبنای روش آموزش به چهار دسته تقسیم می‌شوند:

۱. وزن ثابت : آموزشی در کار نیست و مقادیر وزن‌ها به هنگام نمی‌شود. کاربرد آن در بهینه سازی اطلاعات، کاهش حجم، تفکیک پذیری و فشرده سازی می باشد.

۲. آموزش بدون سرپرست : وزن‌ها فقط بر اساس ورودی‌ها اصلاح می‌شوند و خروجی مطلوب وجود ندارد تا با مقایسه خروجی شبکه با آن و تعیین مقدار خطا وزن‌ها اصلاح شود. وزن‌ها فقط بر اساس اطلاعات الگوهای ورودی به هنگام می‌شوند. هدف استخراج مشخصه‌های الگوهای ورودی بر اساس راهبرد خوشه یابی و یا دسته‌بندی و تشخیص شباهت‌ها (تشکیل گروه‌هایی با الگوی مشابه) می‌باشد، بدون اینکه خروجی یا کلاس‌های متناظر با الگوهای ورودی از قبل مشخص باشد. این یادگیری معمولاً بر پایه شیوه برترین هم خوانی انجام می‌گیرد. شبکه بدون سرپرست وزن‌های خود را بر پایه خروجی حاصل شده از ورودی تغییر می‌دهد تا در برخورد بعدی پاسخ مناسبی را برای این ورودی داشته باشد. در نتیجه شبکه یاد می‌گیرد چگونه به ورودی پاسخ بدهد. اصولاً هدف این است که با تکنیک نورون غالب نورونی که بیشترین تحریک آغازین را دارد برگزیده شود. بنابر این در شبکه‌های بدون سرپرست یافتن نورون غالب یکی از مهمترین کارها است [۴۷ و ۴۸] .

۳. آموزش با سرپرست : به ازای هر دسته از الگوهای ورودی خروجی‌های متناظر نیز به شبکه نشان داده می‌شود و تغییر وزن‌ها تا موقعی صورت می‌گیرد که اختلاف خروجی شبکه به ازای الگوهای آموزشی از خروجی‌های مطلوب در حد خطای قابل قبولی باشد. در این روش‌ها یا از خروجی‌ها به وزن‌ها ارتباط وجود دارد یا خلا به صورت پس انتشار از لایه خروجی به ورودی توزیع شده‌است و وزن‌ها اصلاح می‌شوند. هدف طرح شبکه‌ای است که ابتدا با استفاده از داده‌های آموزشی موجود، آموزش ببیند و سپس با ارائه بردار ورودی به شبکه که ممکن

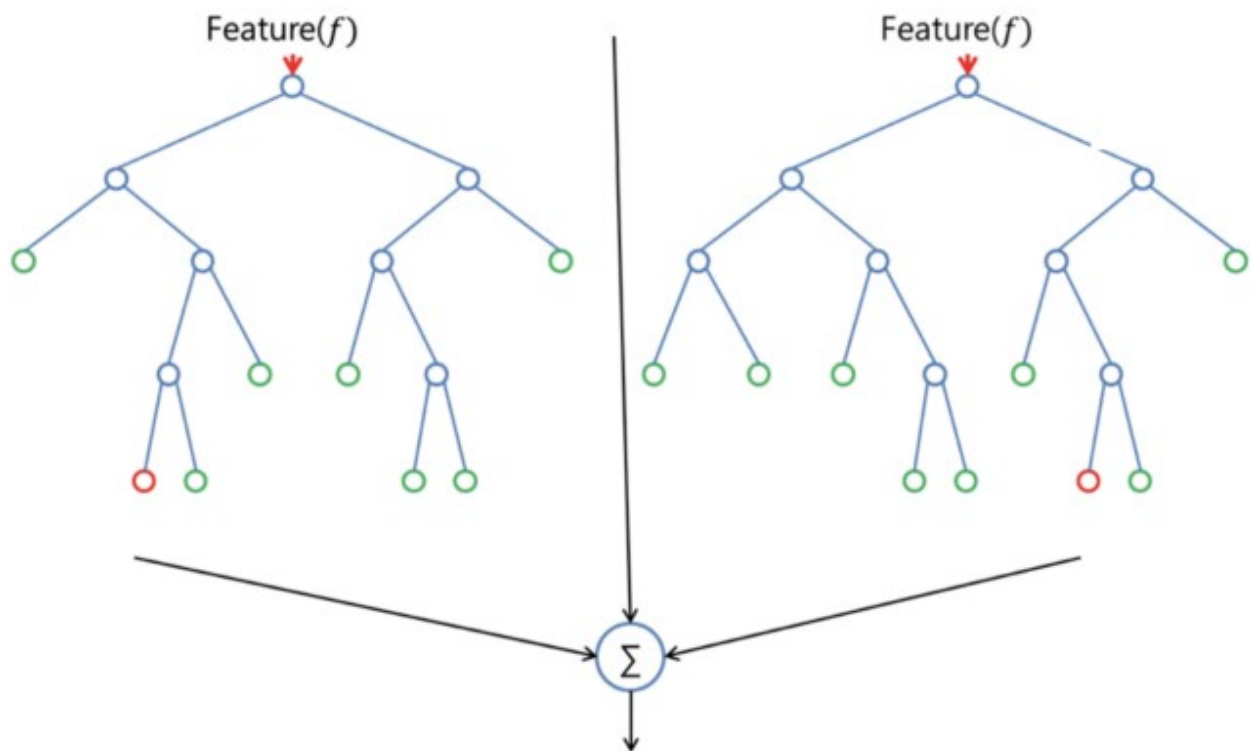
است شبکه آن را قبلاً فراگرفته یا نگرفته باشد کلاس آن را تشخیص دهد. چنین شبکه‌ای به طور گسترده برای کارهای تشخیص الگو به کار گرفته می‌شود.

یکی دیگر از روش‌های آموزش شبکه عصبی استفاده از الگوریتم‌های تقریبی برای تخمین وزن‌های ورودی شبکه عصبی است که در این حالت می‌توان با استفاده از تقریب درست مناسب از الگوریتم شبکه عصبی و تعیین وزنی مناسب (که وزن مناسب را الگوریتم تعیین میکند) به پیش بینی دقیق‌تر شبکه عصبی کمک کرد.

۳-۷- الگوریتم جنگل تصادفی

جنگل تصادفی یک الگوریتم یادگیری نظارت شده محسوب می‌شود. همانطور که از نام آن مشهود است، این الگوریتم جنگلی را به طور تصادفی می‌سازد. «جنگل» ساخته شده، در واقع گروهی از درخت‌های تصمیم است. کار ساخت جنگل با استفاده از درخت‌ها اغلب اوقات به روش کیسه‌گذاری انجام می‌شود. ایده اصلی روش کیسه‌گذاری آن است که ترکیبی از مدل‌های یادگیری، نتایج کلی مدل را افزایش می‌دهد. به بیان ساده، جنگل تصادفی چندین درخت تصمیم ساخته و آن‌ها را با یکدیگر ادغام می‌کند تا پیش‌بینی‌های صحیح‌تر و پایدارتری حاصل شوند.

یکی از مزایای جنگل تصادفی قابل استفاده بودن آن، هم برای مسائل دسته‌بندی و هم رگرسیون است که غالب سیستم‌های یادگیری ماشین کنونی را تشکیل می‌دهند. در اینجا، عملکرد جنگل تصادفی برای انجام دسته‌بندی تشریح خواهد شد، زیرا گاهی دسته‌بندی را به عنوان بلوک سازنده یادگیری ماشین در نظر می‌گیرند. در تصویر زیر، می‌توان دو جنگل تصادفی ساخته شده از دو درخت را مشاهده کرد.



شکل ۳-۳- الگوریتم جنگل تصادفی

جنگل تصادفی دارای فرایدارمترهایی مشابه درخت تصمیم یا دسته‌بند کیسه‌گذاری^۱ است. خوشبختانه، نیازی به ترکیب یک درخت تصمیم با یک دسته‌بند کیسه‌گذاری نیست و می‌توان از کلاس دسته‌بندی^۲ جنگل تصادفی استفاده کرد. چنانکه پیش‌تر بیان شد، با جنگل تصادفی، و در واقع رگرسور جنگل تصادفی^۳ می‌توان به حل مسائل رگرسیون نیز پرداخت.

جنگل تصادفی، تصادفی بودن افزوده‌ای را ضمن رشد درختان به مدل اضافه می‌کند. این الگوریتم، به جای جست‌وجو به دنبال مهم‌ترین ویژگی‌ها هنگام تقسیم کردن یک گره^۴، به دنبال بهترین ویژگی‌ها در میان مجموعه تصادفی از ویژگی‌ها می‌گردد. این امر منجر به تنوع زیاد و در نهایت مدل بهتر می‌شود. بنابراین، در جنگل تصادفی،

^۱ Bagging Classifier

^۲ Classifier-Class

^۳ Random Forest Regressor

^۴ Node

تنها یک زیر مجموعه از ویژگی‌ها توسط الگوریتم برای تقسیم یک گره در نظر گرفته می‌شود. با استفاده افزوده از آستانه تصادفی برای هر ویژگی به جای جست‌وجو برای بهترین آستانه ممکن، حتی می‌توان درخت‌ها را تصادفی‌تر نیز کرد (مانند کاری که درخت تصمیم نرمال انجام می‌دهد).

۳-۸- K-نزدیکترین همسایه

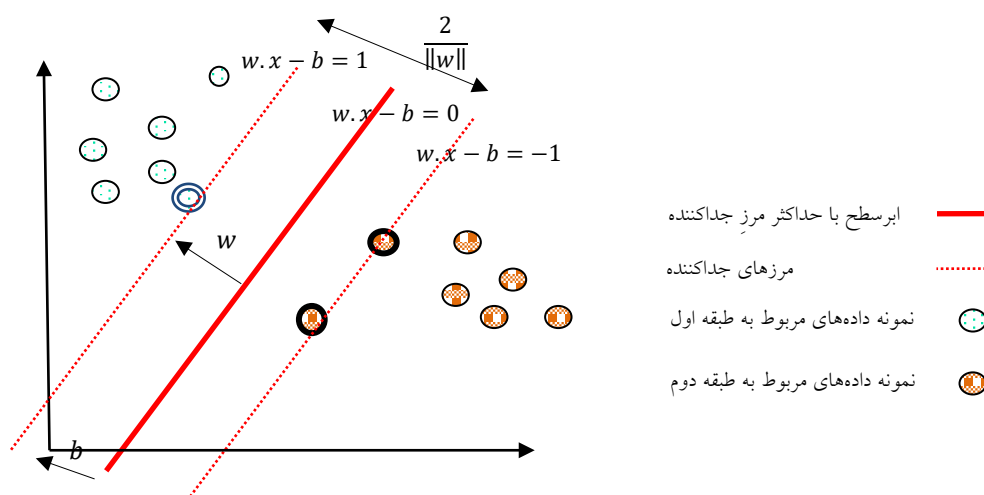
در پیش‌بینی الگو، الگوریتم K-نزدیکترین همسایه^۱ یک متد آمار ناپارامتری است که برای طبقه‌بندی آماری و رگرسیون استفاده می‌شود. در هر دو حالت کی شامل نزدیک‌ترین مثال آموزشی در فضای داده ای می‌باشد و خروجی آن بسته به نوع مورد استفاده در طبقه بندی و رگرسیون متغیر است. در حالت طبقه بندی با توجه به مقدار مشخص شده برای کی، به محاسبه فاصله نقطه ای که می‌خواهیم برچسب آن را مشخص کنیم با نزدیک‌ترین نقاط می‌پردازد و با توجه به تعداد رای حداکثری این نقاط همسایه، در رابطه با برچسب نقطه مورد نظر تصمیم‌گیری می‌کنیم. برای محاسبه این فاصله می‌توان از روش‌های مختلفی استفاده کرد که یکی از مطرح‌ترین این روش‌ها، فاصله اقلیدسی است. در حالت رگرسیون نیز میانگین مقادیر بدست آمده از کی خروجی آن می‌باشد. از آنجا که محاسبات این الگوریتم بر اساس فاصله است نرمال‌سازی داده‌ها می‌تواند به بهبود عملکرد آن کمک کند.

^۱ k-nearest neighbors algorithm

۳-۹- الگوریتم ماشین بردار پشتیبان خطی

فرض کنیم مجموعه نقاط داده $\{(x_1, c_1), (x_2, c_2), \dots, (x_n, c_n)\}$ را در اختیار داریم و می‌خواهیم آنها را به دو طبقه $c_i = \{-1, 1\}$ تفکیک کنیم. هر x_i یک بردار p بعدی از اعداد حقیقی است که در واقع همان متغیرهای بیانگر رفتار کاربر در انتخاب فیلم می‌باشد

روشهای طبقه بندی خطی، سعی دارند که با ساختن یک ابرسطح (که عبارت است از یک معادله خطی)، داده‌ها را از هم تفکیک کنند. روش طبقه بندی ماشین بردار پشتیبان که یکی از روشهای طبقه بندی خطی است، بهترین ابرسطحی را پیدا می‌کند که با حداکثر فاصله (maximum margin)، داده‌های مربوط به دو طبقه را از هم تفکیک کند. به منظور درک بهتر مطلب، در شکل ۳ تصویری از یک مجموعه داده متعلق به دو کلاس نشان داده شده که روش ماشین بردار پشتیبان بهترین ابرسطح را برای جداسازی آنها انتخاب می‌کند..



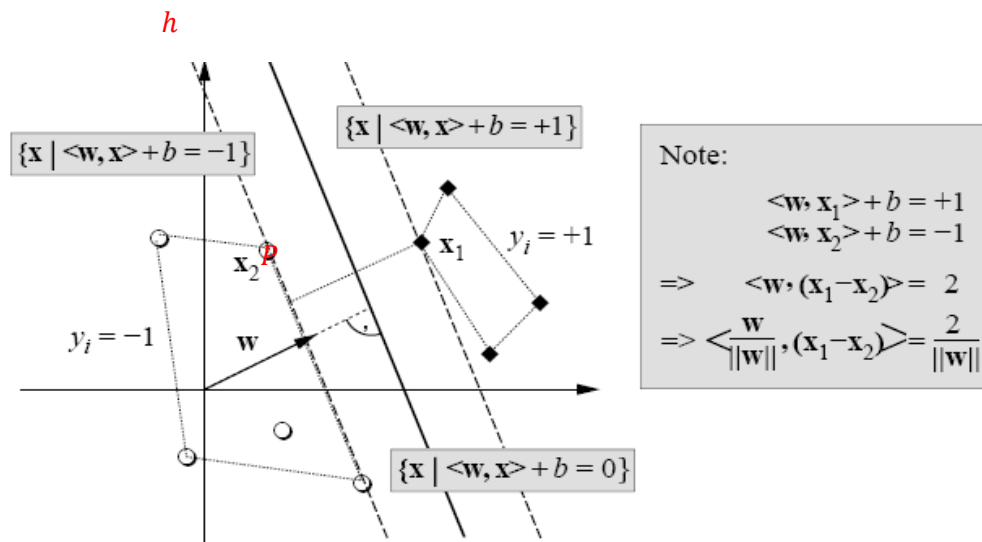
شکل ۳-۴- ماشین بردار پشتیبان

در این شکل داده‌ها دو بعدی هستند یعنی هر داده تنها از دو متغیر تشکیل شده است.

۳-۱۰- نحوه تشکیل ابرسطح جداکننده توسط ماشین بردار پشتیبان

در این بخش می‌خواهیم نحوه ساخت ابرسطح جداکننده را بر روی یک مثال با جزئیات شرح دهیم. تصویر

دقیقی از نحوه تشکیل ابرسطح جداکننده توسط ماشین بردار پشتیبان در شکل ۴ نشان داده شده است.



شکل ۳-۵: نحوه ساخت ابرسطح جداکننده بین دو طبقه داده در فضای دو بعدی

ابتدا یک convex (پوسته محدب) در اطراف نقاط هر کدام از کلاسها در نظر بگیرید. در شکل ۲ در اطراف نقاط

مربوط به کلاس -1 و نقاط مربوط به کلاس $+1$ پوسته محدب رسم شده است. خط

P خطی است که نزدیکترین فاصله بین دو پوسته محدب را نشان می‌دهد.

h که در واقع همان ابرسطح جداکننده است، خطی است که P را از وسط نصف کرده و بر آن عمود است.

b عرض از مبدا برای ابرسطح با حداکثر مرز جداکننده است. اگر b صرف نظر شود، پاسخ تنها ابرسطح‌هایی هستند که از مبدا می‌گذرند. فاصله عمودی ابرسطح تا مبدا با تقسیم قدرمطلق مقدار پارامتر b بر طول w بدست می‌آید.

ایده اصلی این است که یک جداکننده مناسب انتخاب شود. منظور، جداکننده‌ای است که بیشترین فاصله را با نقاط همسایه از هر دو طبقه دارد. این جواب درواقع بیشترین مرز را با نقاط مربوط به دو طبقه مختلف دارد و می‌تواند با دو ابرسطح موازی که حداقل از یکی از نقاط دو طبقه عبور می‌کنند، کران‌دار شود. این بردارها، **بردارهای پشتیبان** نام دارند. فرمول ریاضی این دو ابرسطح موازی که مرز جداکننده را تشکیل می‌دهند در عبارات (۱) و (۲) نشان داده شده است:

$$w \cdot x - b = 1 \quad (۱)$$

$$w \cdot x - b = -1 \quad (۲)$$

نکته قابل توجه این است که اگر داده‌های تعلیمی به صورت خطی تفکیک‌پذیر باشند، می‌توان دو ابرسطح مرزی را به گونه‌ای انتخاب کرد که هیچ داده‌ای بین آنها نباشد و سپس فاصله بین این دو ابرسطح موازی را به حداکثر رساند. با به کارگیری قضایای هندسی، فاصله این دو ابرسطح عبارت است از $2/|w|$ ، پس باید $|w|$ را به حداقل رساند. همچنین باید از قرار گرفتن نقاط داده در ناحیه درون مرز جلوگیری کرد، برای این کار یک محدودیت ریاضی به تعریف فرمال اضافه می‌شود. برای هر i ، با اعمال محدودیت‌های زیر اطمینان حاصل می‌شود که هیچ نقطه‌ای در مرز قرار نمی‌گیرد:

$$w \cdot x_i - b \geq 1 \quad (۳) \quad \text{برای داده‌های مربوط به طبقه اول}$$

$$w \cdot x_i - b \leq -1 \quad (۴) \quad \text{برای داده‌های مربوط به طبقه دوم}$$

می‌توان این محدودیت را به صورت رابطه زیر نشان داد:

$$c_i(w \cdot x_i - b) \geq 1, \quad 1 \leq i \leq n \quad (5)$$

لذا مسأله بهینه‌سازی بدین شکل تعریف می‌شود:

به حداقل رساندن w ، با در نظر گرفتن محدودیت زیر:

$$c_i(w \cdot x_i - b) \geq 1, \quad 1 \leq i \leq n$$

۱۱-۳- جمع بندی

با توجه به مطالعات انجام شده در فصل دو و روش‌های ارایه شده، در این فصل ما با پیاده سازی الگوریتم‌های یادگیری ماشین KNN، SVM، MLP، LR و RF به مقایسه‌ی روش‌های بعد از عمل تشنج پرداختیم. در نتیجه الگوریتم‌های پیاده سازی شده در فصل بعد به مقایسه خواهیم پرداخت و قابلیت‌های هر کدام در تست و آموزش انجام خواهد شد. در این کار ابتدا بیماران را به عنوان دیتا ست‌هایی از شاخص‌های قبل عمل و بعد عمل در نظر گرفتیم تا شباهت‌ها/تفاوت‌های بین پروفایل‌های بیمار آنها را شناسایی کنیم.

فصل چهارم: پیاده سازی و ارزیابی روش پیشنهادی

live code

```
!pip install numpy
```

```
!pip install pandas
```

```
!pip install seaborn
```

```
!pip install matplotlib
```

```
!pip install scikit-learn
```

Requirement already satisfied: numpy in c:\users\bagher\anaconda3\lib\site-packages (1.19.5)

Requirement already satisfied: pandas in c:\users\bagher\anaconda3\lib\site-packages (1.3.4)

Requirement already satisfied: python-dateutil>=2.7.3 in c:\users\bagher\anaconda3\lib\site-packages (from pandas) (2.8.2)

Requirement already satisfied: pytz>=2017.3 in c:\users\bagher\anaconda3\lib\site-packages (from pandas) (2021.3)

Requirement already satisfied: numpy>=1.17.3 in c:\users\bagher\anaconda3\lib\site-packages (from pandas) (1.19.5)

Requirement already satisfied: six>=1.5 in c:\users\bagher\anaconda3\lib\site-packages (from python-dateutil>=2.7.3->pandas) (1.16.0)

Requirement already satisfied: seaborn in c:\users\bagher\anaconda3\lib\site-packages (0.11.2)

Requirement already satisfied: matplotlib>=2.2 in c:\users\bagher\anaconda3\lib\site-packages (from seaborn) (3.4.3)

Requirement already satisfied: numpy>=1.15 in c:\users\bagher\anaconda3\lib\site-packages (from seaborn) (1.19.5)

Requirement already satisfied: pandas>=0.23 in c:\users\bagher\anaconda3\lib\site-packages (from seaborn) (1.3.4)

Requirement already satisfied: scipy>=1.0 in c:\users\bagher\anaconda3\lib\site-packages (from seaborn) (1.7.1)

Requirement already satisfied: kiwisolver>=1.0.1 in c:\users\bagher\anaconda3\lib\site-packages (from matplotlib>=2.2->seaborn) (1.3.1)

Requirement already satisfied: cycler>=0.10 in c:\users\bagher\anaconda3\lib\site-packages (from matplotlib>=2.2->seaborn) (0.10.0)

Requirement already satisfied: python-dateutil>=2.7 in c:\users\bagher\anaconda3\lib\site-packages (from matplotlib>=2.2->seaborn) (2.8.2)

Requirement already satisfied: pyparsing>=2.2.1 in c:\users\bagher\anaconda3\lib\site-packages (from matplotlib>=2.2->seaborn) (3.0.4)

Requirement already satisfied: pillow>=6.2.0 in c:\users\bagher\anaconda3\lib\site-packages (from matplotlib>=2.2->seaborn) (8.4.0)

Requirement already satisfied: six in c:\users\bagher\anaconda3\lib\site-packages (from cycler>=0.10->matplotlib>=2.2->seaborn) (1.16.0)

Requirement already satisfied: pytz>=2017.3 in c:\users\bagher\anaconda3\lib\site-packages (from pandas>=0.23->seaborn) (2021.3)

Requirement already satisfied: matplotlib in c:\users\bagher\anaconda3\lib\site-packages (3.4.3)

Requirement already satisfied: kiwisolver>=1.0.1 in c:\users\bagher\anaconda3\lib\site-packages (from matplotlib) (1.3.1)

Requirement already satisfied: cycler>=0.10 in c:\users\bagher\anaconda3\lib\site-packages (from matplotlib) (0.10.0)

Requirement already satisfied: numpy>=1.16 in c:\users\bagher\anaconda3\lib\site-packages (from matplotlib) (1.19.5)

Requirement already satisfied: pyparsing>=2.2.1 in c:\users\bagher\anaconda3\lib\site-packages (from matplotlib) (3.0.4)

Requirement already satisfied: python-dateutil>=2.7 in c:\users\bagher\anaconda3\lib\site-packages (from matplotlib) (2.8.2)

Requirement already satisfied: pillow>=6.2.0 in c:\users\bagher\anaconda3\lib\site-packages (from matplotlib) (8.4.0)

Requirement already satisfied: six in c:\users\bagher\anaconda3\lib\site-packages (from cycler>=0.10->matplotlib) (1.16.0)

Requirement already satisfied: scikit-learn in c:\users\bagher\anaconda3\lib\site-packages (0.24.2)

Requirement already satisfied: threadpoolctl>=2.0.0 in c:\users\bagher\anaconda3\lib\site-packages (from scikit-learn) (2.2.0)

Requirement already satisfied: numpy>=1.13.3 in c:\users\bagher\anaconda3\lib\site-packages (from scikit-learn) (1.19.5)

Requirement already satisfied: scipy>=0.19.1 in c:\users\bagher\anaconda3\lib\site-packages (from scikit-learn) (1.7.1)

Requirement already satisfied: joblib>=0.11 in c:\users\bagher\anaconda3\lib\site-packages (from scikit-learn) (1.1.0)

!pip install Pyppeteer

Collecting Pyppeteer

Downloading pyppeteer-1.0.2-py3-none-any.whl (83 kB)

Requirement already satisfied: importlib-metadata>=1.4 in c:\users\bagher\anaconda3\lib\site-packages (from Pyppeteer) (4.8.1)

Requirement already satisfied: urllib3<2.0.0,>=1.25.8 in c:\users\bagher\anaconda3\lib\site-packages (from Pyppeteer) (1.26.7)

Requirement already satisfied: appdirs<2.0.0,>=1.4.3 in c:\users\bagher\anaconda3\lib\site-packages (from Pyppeteer) (1.4.4)

Requirement already satisfied: certifi>=2021 in c:\users\bagher\anaconda3\lib\site-packages (from Pyppeteer) (2021.10.8)

Collecting websockets<11.0,>=10.0

Downloading websockets-10.1-cp39-cp39-win_amd64.whl (97 kB)

Collecting pyee<9.0.0,>=8.1.0

Downloading pyee-8.2.2-py2.py3-none-any.whl (12 kB)

Requirement already satisfied: tqdm<5.0.0,>=4.42.1 in c:\users\bagher\anaconda3\lib\site-packages (from Pyppeteer) (4.62.3)

Requirement already satisfied: zipp>=0.5 in c:\users\bagher\anaconda3\lib\site-packages (from importlib-metadata>=1.4->Pyppeteer) (3.6.0)

Requirement already satisfied: colorama in c:\users\bagher\anaconda3\lib\site-packages (from tqdm<5.0.0,>=4.42.1->Pyppeteer) (0.4.4)

Installing collected packages: websockets, pyee, Pyppeteer

Successfully installed Pyppeteer-1.0.2 pyee-8.2.2 websockets-10.1

!pip install tensorflow

Collecting tensorflow

Using cached tensorflow-2.7.0-cp39-cp39-win_amd64.whl (430.8 MB)

Requirement already satisfied: wrapt>=1.11.0 in c:\users\bagher\anaconda3\lib\site-packages (from tensorflow) (1.12.1)

Requirement already satisfied: typing-extensions>=3.6.6 in c:\users\bagher\anaconda3\lib\site-packages (from tensorflow) (3.10.0.2)

Collecting keras-preprocessing>=1.1.1

Using cached Keras_Preprocessing-1.1.2-py2.py3-none-any.whl (42 kB)

Collecting libclang>=9.0.1

Downloading libclang-13.0.0-py2.py3-none-win_amd64.whl (13.9 MB)

Requirement already satisfied: wheel<1.0,>=0.32.0 in c:\users\bagher\anaconda3\lib\site-packages (from tensorflow) (0.37.0)

Requirement already satisfied: protobuf>=3.9.2 in c:\users\bagher\anaconda3\lib\site-packages (from tensorflow) (3.19.1)

Requirement already satisfied: six>=1.12.0 in c:\users\bagher\anaconda3\lib\site-packages (from tensorflow) (1.16.0)

Collecting opt-einsum>=2.3.2

Using cached opt_einsum-3.3.0-py3-none-any.whl (65 kB)

Collecting grpcio<2.0,>=1.24.3

Downloading grpcio-1.43.0-cp39-cp39-win_amd64.whl (3.4 MB)

Requirement already satisfied: h5py>=2.9.0 in c:\users\bagher\anaconda3\lib\site-packages (from tensorflow) (3.2.1)

Collecting flatbuffers<3.0,>=1.12

Using cached flatbuffers-2.0-py2.py3-none-any.whl (26 kB)

Collecting termcolor>=1.1.0

Using cached termcolor-1.1.0-py3-none-any.whl

Collecting gast<0.5.0,>=0.2.1

Using cached gast-0.4.0-py3-none-any.whl (9.8 kB)

Collecting tensorboard~=2.6

Downloading tensorboard-2.8.0-py3-none-any.whl (5.8 MB)

Collecting tensorflow-estimator<2.8,>=2.7.0rc0

Using cached tensorflow_estimator-2.7.0-py2.py3-none-any.whl (463 kB)

Requirement already satisfied: keras<2.8,>=2.7.0rc0 in c:\users\bagher\anaconda3\lib\site-packages (from tensorflow) (2.7.0)

Collecting absl-py>=0.4.0

Using cached absl_py-1.0.0-py3-none-any.whl (126 kB)

Requirement already satisfied: numpy>=1.14.5 in c:\users\bagher\anaconda3\lib\site-packages (from tensorflow) (1.19.5)

Collecting google-pasta>=0.1.1

Using cached google_pasta-0.2.0-py3-none-any.whl (57 kB)

Collecting tensorflow-io-gcs-filesystem>=0.21.0

Using cached tensorflow_io_gcs_filesystem-0.23.1-cp39-cp39-win_amd64.whl (1.5 MB)

Collecting astunparse>=1.6.0

Using cached astunparse-1.6.3-py2.py3-none-any.whl (12 kB)

Requirement already satisfied: requests<3,>=2.21.0 in c:\users\bagher\anaconda3\lib\site-packages (from tensorboard~=2.6->tensorflow) (2.26.0)

Collecting google-auth-oauthlib<0.5,>=0.4.1

Using cached google_auth_oauthlib-0.4.6-py2.py3-none-any.whl (18 kB)

Requirement already satisfied: werkzeug>=0.11.15 in c:\users\bagher\anaconda3\lib\site-packages (from tensorboard~=2.6->tensorflow) (2.0.2)

Requirement already satisfied: google-auth<3,>=1.6.3 in c:\users\bagher\anaconda3\lib\site-packages (from tensorboard~=2.6->tensorflow) (2.3.3)

Requirement already satisfied: tensorboard-data-server<0.7.0,>=0.6.0 in c:\users\bagher\anaconda3\lib\site-packages (from tensorboard~=2.6->tensorflow) (0.6.1)

Requirement already satisfied: setuptools>=41.0.0 in c:\users\bagher\anaconda3\lib\site-packages (from tensorboard~=2.6->tensorflow) (58.0.4)

Requirement already satisfied: tensorboard-plugin-wit>=1.6.0 in c:\users\bagher\anaconda3\lib\site-packages (from tensorboard~=2.6->tensorflow) (1.8.0)

Collecting markdown>=2.6.8

Using cached Markdown-3.3.6-py3-none-any.whl (97 kB)

Requirement already satisfied: cachetools<5.0,>=2.0.0 in c:\users\bagher\anaconda3\lib\site-packages (from google-auth<3,>=1.6.3->tensorboard~=2.6->tensorflow) (4.2.4)

Requirement already satisfied: rsa<5,>=3.1.4 in c:\users\bagher\anaconda3\lib\site-packages (from google-auth<3,>=1.6.3->tensorboard~=2.6->tensorflow) (4.8)

Requirement already satisfied: pyasn1-modules>=0.2.1 in c:\users\bagher\anaconda3\lib\site-packages (from google-auth<3,>=1.6.3->tensorboard~=2.6->tensorflow) (0.2.8)

Requirement already satisfied: requests-oauthlib>=0.7.0 in c:\users\bagher\anaconda3\lib\site-packages (from google-auth-oauthlib<0.5,>=0.4.1->tensorboard~=2.6->tensorflow) (1.3.0)

Requirement already satisfied: importlib-metadata>=4.4 in c:\users\bagher\anaconda3\lib\site-packages (from markdown>=2.6.8->tensorboard~=2.6->tensorflow) (4.8.1)

Requirement already satisfied: zipp>=0.5 in c:\users\bagher\anaconda3\lib\site-packages (from importlib-metadata>=4.4->markdown>=2.6.8->tensorboard~=2.6->tensorflow) (3.6.0)

Requirement already satisfied: pyasn1<0.5.0,>=0.4.6 in c:\users\bagher\anaconda3\lib\site-packages (from pyasn1-modules>=0.2.1->google-auth<3,>=1.6.3->tensorboard~=2.6->tensorflow) (0.4.8)

Requirement already satisfied: charset-normalizer~=2.0.0 in c:\users\bagher\anaconda3\lib\site-packages (from requests<3,>=2.21.0->tensorboard~=2.6->tensorflow) (2.0.4)

Requirement already satisfied: certifi>=2017.4.17 in c:\users\bagher\anaconda3\lib\site-packages (from requests<3,>=2.21.0->tensorboard~=2.6->tensorflow) (2021.10.8)

Requirement already satisfied: idna<4,>=2.5 in c:\users\bagher\anaconda3\lib\site-packages (from requests<3,>=2.21.0->tensorboard~=2.6->tensorflow) (3.2)

Requirement already satisfied: urllib3<1.27,>=1.21.1 in c:\users\bagher\anaconda3\lib\site-packages (from requests<3,>=2.21.0->tensorboard~=2.6->tensorflow) (1.26.7)

Requirement already satisfied: oauthlib>=3.0.0 in c:\users\bagher\anaconda3\lib\site-packages (from requests-oauthlib>=0.7.0->google-auth-oauthlib<0.5,>=0.4.1->tensorboard~=2.6->tensorflow) (3.1.1)

Installing collected packages: markdown, grpcio, google-auth-oauthlib, absl-py, termcolor, tensorflow-io-gcs-filesystem, tensorflow-estimator, tensorboard, opt-einsum, libclang, keras-preprocessing, google-pasta, gast, flatbuffers, astunparse, tensorflow

Successfully installed absl-py-1.0.0 astunparse-1.6.3 flatbuffers-2.0 gast-0.4.0 google-auth-oauthlib-0.4.6 google-pasta-0.2.0 grpcio-1.43.0 keras-preprocessing-1.1.2 libclang-13.0.0 markdown-3.3.6 opt-einsum-3.3.0 tensorboard-2.8.0 tensorflow-2.7.0 tensorflow-estimator-2.7.0 tensorflow-io-gcs-filesystem-0.23.1 termcolor-1.1.0

```
import numpy as np
import pandas as pd
```

```
import matplotlib.pyplot as plt
import seaborn as sns
```

```
from sklearn.svm import SVC
from sklearn.tree import DecisionTreeClassifier
from sklearn.ensemble import RandomForestClassifier
from sklearn.linear_model import LogisticRegression
df = pd.read_csv("data.csv")
```

```
df.head()
AGE  GEN  EDU  HDS_b      EDH  HEM  HS_b  AHS  ASO  DUR  ...  FRQ
    AED  SEV  SEV_b AGE.1 DIST  ENG  ENG_b      NAM  NAM_b
```

0	46	1	2	2	80	1	1	2.70	34	10	...	3
	4	12	2	33	1.78	1	1	-0.58	2			
1	48	1	3	2	100	1	1	1.21	27	21	...	2
	2	8	2	28	1.79	2	2	0.72	1			
2	42	1	3	2	100	1	1	1.34	6	31	...	2
	2	8	2	25	2.31	1	1	1.01	1			
3	23	1	3	2	90	1	2	5.98	3	20	...	2
	4	16	2	19	1.78	2	2	-2.05	1			
4	37	1	2	2	100	1	1	0.02	6	31	...	2
	3	12	2	30	2.24	2	2	-0.15	1			

5 rows \times 21 columns

df.tail()

AGE	GEN	EDU	HDS_b	EDH	HEM	HS_b	AHS	ASO	DUR	...	FRQ	
	AED	SEV	SEV_b	AGE.1	DIST	ENG	ENG_b	NAM	NAM_b			
42	41	2	2	2	100	2	2	22.01	24	17	...	1
	2	4	1	23	2.19	1	1	0.76	1			
43	30	2	2	2	90	2	2	18.98	19	17	...	2
	4	16	2	23	2.38	1	1	1.04	1			
44	45	2	3	2	100	2	2	17.89	39	13	...	2
	2	4	1	39	1.78	1	1	0.32	1			
45	35	2	3	2	100	2	2	14.61	3	28	...	2
	3	12	2	21	2.19	1	1	0.00	2			
46	30	2	3	2	90	2	2	32.55	19	20	...	4
	3	24	2	26	2.24	4	2	-0.70	2			

5 rows \times 21 columns

print('Rows :',df.shape[0])

print('Columns :',df.shape[1])

Rows : 47

Columns : 21

df.describe()

AGE	GEN	EDU	HDS_b	EDH	HEM	HS_b	AHS	ASO	DUR	...	FRQ
	AED	SEV	SEV_b	AGE.1	DIST	ENG	ENG_b	NAM	NAM_b		
count	47.000000		47.000000		47.000000		47.000000	47.000000		47.000000	
	47.000000		47.000000		47.000000		47.000000	...	47.000000		
	47.000000		47.000000		47.000000		47.000000	47.000000		47.000000	
	47.000000		47.000000		47.000000						
mean	39.297872		1.425532		2.234043		1.851064	64.680851		1.489362	
	1.553191		9.341702		15.829787		22.893617	...	2.319149		
	2.659574		10.638298		1.723404		27.319149	2.05766		1.510638	
	1.361702		-0.437021		1.404255						
std	9.853084		0.499769		0.666358		0.359875	55.983346		0.505291	
	0.502538		10.287381		10.076488		11.417443	...	0.694900		
	0.891423		5.798896		0.452151		8.663031	0.21922		0.804129	
	0.485688		1.104264		0.496053						
min	21.000000		1.000000		1.000000		1.000000	-100.000000		1.000000	
	1.000000		0.010000		3.000000		5.000000	...	1.000000		
	1.000000		2.000000		1.000000		18.000000	1.73000		1.000000	
	1.000000		-2.870000		1.000000						
25%	31.000000		1.000000		2.000000		2.000000	70.000000		1.000000	
	1.000000		0.805000		6.500000		12.500000	...	2.000000		
	2.000000		6.000000		1.000000		20.500000	1.87500		1.000000	
	1.000000		-1.225000		1.000000						
50%	39.000000		1.000000		2.000000		2.000000	80.000000		1.000000	
	2.000000		5.480000		13.000000		22.000000	...	2.000000		
	3.000000		9.000000		2.000000		25.000000	1.99000		1.000000	
	1.000000		-0.500000		1.000000						
75%	48.000000		2.000000		3.000000		2.000000	100.000000		2.000000	
	2.000000		17.390000		21.500000		32.000000	...	3.000000		
	3.000000		14.000000		2.000000		31.500000	2.22500		2.000000	
	2.000000		0.625000		2.000000						
max	63.000000		2.000000		3.000000		2.000000	100.000000		2.000000	
	2.000000		33.230000		46.000000		48.000000	...	4.000000		

4.000000	24.000000	2.000000	46.000000	2.48000	4.000000
2.000000	1.070000	2.000000			

8 rows × 21 columns

df.info()

<class 'pandas.core.frame.DataFrame'>

RangeIndex: 47 entries, 0 to 46

Data columns (total 21 columns):

Column Non-Null Count Dtype

--- ---

0	AGE	47 non-null	int64
1	GEN	47 non-null	int64
2	EDU	47 non-null	int64
3	HDS_b	47 non-null	int64
4	EDH	47 non-null	int64
5	HEM	47 non-null	int64
6	HS_b	47 non-null	int64
7	AHS	47 non-null	float64
8	ASO	47 non-null	int64
9	DUR	47 non-null	int64
10	DUR_b	47 non-null	int64
11	FRQ	47 non-null	int64
12	AED	47 non-null	int64
13	SEV	47 non-null	int64
14	SEV_b	47 non-null	int64
15	AGE.1	47 non-null	int64
16	DIST	47 non-null	float64
17	ENG	47 non-null	int64
18	ENG_b	47 non-null	int64
19	NAM	47 non-null	float64
20	NAM_b	47 non-null	int64

dtypes: float64(3), int64(18)

memory usage: 7.8 KB

```
df['AGE'].value_counts()
```

```
48  4
```

```
30  4
```

```
42  3
```

```
49  3
```

```
52  3
```

```
32  3
```

```
46  2
```

```
31  2
```

```
35  2
```

```
39  2
```

```
54  2
```

```
23  2
```

```
63  1
```

```
36  1
```

```
41  1
```

```
28  1
```

```
43  1
```

```
27  1
```

```
40  1
```

```
47  1
```

```
21  1
```

```
34  1
```

```
38  1
```

```
29  1
```

```
25  1
```

```
37  1
```

```
45  1
```

```
Name: AGE, dtype: int64
```

```
df['ENG'].value_counts()
```

```
1  30
```

```
2  12
```

```
3   3
```

4 2

Name: ENG, dtype: int64

df['NAM_b'].value_counts()

1 28

2 19

Name: NAM_b, dtype: int64

sns.pairplot(df,hue='ENG',size=2)

C:\Users\bagher\anaconda3\lib\site-packages\seaborn\axisgrid.py:2076: UserWarning: The `size` parameter has been renamed to `height`; please update your code.

warnings.warn(msg, UserWarning)

<seaborn.axisgrid.PairGrid at 0x2d1c43e43a0>

sns.heatmap(df.corr(), annot = True)

plt.show()

plt.subplot(1, 2, 1)

plt.scatter(x = df['NAM_b'], y = df['AGE'], color = 'red', marker = 'o',)

plt.title('NAM_b vs AGE')

plt.subplot(1, 2, 2)

plt.scatter(x = df['NAM'], y = df['AGE'], color = 'blue', marker = 'x',)

plt.title('NAM vs AGE')

plt.show()

features = list(df.columns)

print(features)

['AGE', 'GEN', 'EDU', 'HDS_b', 'EDH', 'HEM', 'HS_b', 'AHS', 'ASO', 'DUR', 'DUR_b', 'FRQ', 'AED', 'SEV', 'SEV_b', 'AGE.1', 'DIST', 'ENG', 'ENG_b', 'NAM', 'NAM_b']

features.remove('ENG')

features.remove('NAM_b')

```

features.remove('ENG_b')
features.remove('NAM')

print(features)
['AGE', 'GEN', 'EDU', 'HDS_b', 'EDH', 'HEM', 'HS_b', 'AHS', 'ASO', 'DUR', 'DUR_b', 'FRQ',
'AED', 'SEV', 'SEV_b', 'AGE.1', 'DIST']
Y = df.NAM_b
X = df[features].values.astype(np.float32)
X
array([[ 4.600e+01,  1.000e+00,  2.000e+00,  2.000e+00,  8.000e+01,
         1.000e+00,  1.000e+00,  2.700e+00,  3.400e+01,  1.000e+01,
         1.000e+00,  3.000e+00,  4.000e+00,  1.200e+01,  2.000e+00,
         3.300e+01,  1.780e+00],
       [ 4.800e+01,  1.000e+00,  3.000e+00,  2.000e+00,  1.000e+02,
         1.000e+00,  1.000e+00,  1.210e+00,  2.700e+01,  2.100e+01,
         2.000e+00,  2.000e+00,  2.000e+00,  8.000e+00,  2.000e+00,
         2.800e+01,  1.790e+00],
       [ 4.200e+01,  1.000e+00,  3.000e+00,  2.000e+00,  1.000e+02,
         1.000e+00,  1.000e+00,  1.340e+00,  6.000e+00,  3.100e+01,
         2.000e+00,  2.000e+00,  2.000e+00,  8.000e+00,  2.000e+00,
         2.500e+01,  2.310e+00],
       [ 2.300e+01,  1.000e+00,  3.000e+00,  2.000e+00,  9.000e+01,
         1.000e+00,  2.000e+00,  5.980e+00,  3.000e+00,  2.000e+01,
         2.000e+00,  2.000e+00,  4.000e+00,  1.600e+01,  2.000e+00,
         1.900e+01,  1.780e+00],
       [ 3.700e+01,  1.000e+00,  2.000e+00,  2.000e+00,  1.000e+02,
         1.000e+00,  1.000e+00,  2.000e-02,  6.000e+00,  3.100e+01,
         2.000e+00,  2.000e+00,  3.000e+00,  1.200e+01,  2.000e+00,
         3.000e+01,  2.240e+00],
       [ 4.900e+01,  1.000e+00,  2.000e+00,  2.000e+00,  9.000e+01,
         1.000e+00,  1.000e+00,  6.000e-02,  1.100e+01,  1.200e+01,
         1.000e+00,  2.000e+00,  3.000e+00,  6.000e+00,  1.000e+00,
         2.900e+01,  1.990e+00],

```

[5.200e+01, 1.000e+00, 2.000e+00, 2.000e+00, 8.000e+01,
1.000e+00, 1.000e+00, 4.500e-01, 6.000e+00, 3.200e+01,
2.000e+00, 2.000e+00, 2.000e+00, 8.000e+00, 2.000e+00,
4.500e+01, 2.430e+00],

[2.300e+01, 2.000e+00, 2.000e+00, 2.000e+00, 7.000e+01,
1.000e+00, 1.000e+00, 6.000e-01, 1.100e+01, 1.800e+01,
2.000e+00, 2.000e+00, 3.000e+00, 1.200e+01, 2.000e+00,
1.800e+01, 2.210e+00],

[3.200e+01, 2.000e+00, 3.000e+00, 2.000e+00, 1.000e+02,
1.000e+00, 1.000e+00, 4.000e-01, 2.700e+01, 5.000e+00,
1.000e+00, 3.000e+00, 2.000e+00, 6.000e+00, 1.000e+00,
1.900e+01, 2.440e+00],

[3.000e+01, 2.000e+00, 1.000e+00, 2.000e+00, 8.000e+01,
1.000e+00, 1.000e+00, 1.010e+00, 8.000e+00, 1.700e+01,
2.000e+00, 3.000e+00, 3.000e+00, 1.800e+01, 2.000e+00,
2.400e+01, 1.960e+00],

[2.500e+01, 1.000e+00, 3.000e+00, 1.000e+00, -4.000e+01,
1.000e+00, 2.000e+00, 5.670e+00, 1.500e+01, 3.700e+01,
2.000e+00, 2.000e+00, 2.000e+00, 8.000e+00, 2.000e+00,
2.000e+01, 2.350e+00],

[2.900e+01, 1.000e+00, 1.000e+00, 1.000e+00, -6.000e+01,
1.000e+00, 2.000e+00, 3.221e+01, 2.300e+01, 9.000e+00,
1.000e+00, 3.000e+00, 4.000e+00, 1.200e+01, 2.000e+00,
1.800e+01, 1.850e+00],

[3.100e+01, 2.000e+00, 2.000e+00, 1.000e+00, -6.000e+01,
1.000e+00, 2.000e+00, 1.712e+01, 2.300e+01, 8.000e+00,
1.000e+00, 2.000e+00, 3.000e+00, 6.000e+00, 1.000e+00,
2.000e+01, 2.270e+00],

[3.800e+01, 2.000e+00, 2.000e+00, 1.000e+00, -6.000e+01,
1.000e+00, 2.000e+00, 1.748e+01, 1.000e+01, 2.500e+01,
2.000e+00, 2.000e+00, 2.000e+00, 8.000e+00, 2.000e+00,
3.200e+01, 2.180e+00],

[4.800e+01, 1.000e+00, 2.000e+00, 2.000e+00, 7.000e+01,

1.000e+00, 2.000e+00, 1.944e+01, 1.300e+01, 3.500e+01,
 2.000e+00, 2.000e+00, 2.000e+00, 8.000e+00, 2.000e+00,
 4.400e+01, 1.820e+00],
 [4.000e+01, 1.000e+00, 1.000e+00, 2.000e+00, 8.000e+01,
 1.000e+00, 2.000e+00, 3.323e+01, 1.800e+01, 2.200e+01,
 2.000e+00, 3.000e+00, 4.000e+00, 2.400e+01, 2.000e+00,
 3.500e+01, 2.060e+00],
 [3.400e+01, 1.000e+00, 3.000e+00, 2.000e+00, 1.000e+02,
 1.000e+00, 2.000e+00, 6.440e+00, 6.000e+00, 2.400e+01,
 2.000e+00, 2.000e+00, 2.000e+00, 8.000e+00, 2.000e+00,
 2.700e+01, 1.970e+00],
 [2.100e+01, 1.000e+00, 3.000e+00, 2.000e+00, 6.000e+01,
 1.000e+00, 2.000e+00, 4.980e+00, 1.200e+01, 1.000e+01,
 1.000e+00, 3.000e+00, 3.000e+00, 9.000e+00, 2.000e+00,
 1.800e+01, 1.730e+00],
 [4.800e+01, 1.000e+00, 2.000e+00, 2.000e+00, 7.000e+01,
 1.000e+00, 2.000e+00, 1.242e+01, 1.300e+01, 3.600e+01,
 2.000e+00, 2.000e+00, 3.000e+00, 1.200e+01, 2.000e+00,
 2.000e+01, 2.480e+00],
 [3.200e+01, 1.000e+00, 2.000e+00, 2.000e+00, 8.000e+01,
 1.000e+00, 2.000e+00, 1.730e+01, 2.000e+01, 1.200e+01,
 1.000e+00, 2.000e+00, 4.000e+00, 8.000e+00, 2.000e+00,
 2.700e+01, 1.870e+00],
 [4.700e+01, 2.000e+00, 2.000e+00, 2.000e+00, 6.000e+01,
 1.000e+00, 2.000e+00, 1.562e+01, 1.200e+01, 3.500e+01,
 2.000e+00, 3.000e+00, 3.000e+00, 1.800e+01, 2.000e+00,
 4.300e+01, 1.730e+00],
 [5.400e+01, 2.000e+00, 2.000e+00, 2.000e+00, 9.000e+01,
 1.000e+00, 2.000e+00, 1.278e+01, 1.800e+01, 3.600e+01,
 2.000e+00, 4.000e+00, 1.000e+00, 8.000e+00, 2.000e+00,
 4.400e+01, 1.890e+00],
 [4.900e+01, 2.000e+00, 3.000e+00, 2.000e+00, 7.000e+01,
 1.000e+00, 2.000e+00, 5.790e+00, 5.000e+00, 4.400e+01,

2.000e+00, 2.000e+00, 2.000e+00, 8.000e+00, 2.000e+00,
 2.100e+01, 1.890e+00],
 [5.400e+01, 2.000e+00, 3.000e+00, 2.000e+00, 7.000e+01,
 1.000e+00, 1.000e+00, 1.200e+00, 6.000e+00, 4.800e+01,
 2.000e+00, 2.000e+00, 4.000e+00, 1.600e+01, 2.000e+00,
 3.300e+01, 1.980e+00],
 [3.600e+01, 1.000e+00, 3.000e+00, 1.000e+00, -1.000e+02,
 2.000e+00, 1.000e+00, 6.300e-01, 3.200e+01, 1.300e+01,
 1.000e+00, 3.000e+00, 2.000e+00, 6.000e+00, 1.000e+00,
 2.100e+01, 1.900e+00],
 [4.300e+01, 1.000e+00, 2.000e+00, 1.000e+00, -4.000e+01,
 2.000e+00, 1.000e+00, 1.900e-01, 6.000e+00, 3.600e+01,
 2.000e+00, 2.000e+00, 3.000e+00, 1.200e+01, 2.000e+00,
 2.800e+01, 1.820e+00],
 [4.900e+01, 2.000e+00, 2.000e+00, 1.000e+00, -8.000e+01,
 2.000e+00, 1.000e+00, 1.400e-01, 1.300e+01, 3.600e+01,
 2.000e+00, 2.000e+00, 1.000e+00, 4.000e+00, 1.000e+00,
 4.100e+01, 1.880e+00],
 [5.200e+01, 1.000e+00, 2.000e+00, 2.000e+00, 1.000e+02,
 2.000e+00, 1.000e+00, 2.450e+00, 4.600e+01, 5.000e+00,
 1.000e+00, 2.000e+00, 2.000e+00, 4.000e+00, 1.000e+00,
 4.600e+01, 2.350e+00],
 [2.800e+01, 1.000e+00, 2.000e+00, 2.000e+00, 5.000e+01,
 2.000e+00, 1.000e+00, 1.800e+00, 1.800e+01, 1.000e+01,
 1.000e+00, 3.000e+00, 1.000e+00, 3.000e+00, 1.000e+00,
 2.300e+01, 1.840e+00],
 [3.100e+01, 1.000e+00, 1.000e+00, 2.000e+00, 8.000e+01,
 2.000e+00, 1.000e+00, 3.000e-02, 1.000e+01, 2.000e+01,
 2.000e+00, 3.000e+00, 2.000e+00, 1.200e+01, 2.000e+00,
 2.500e+01, 2.350e+00],
 [4.200e+01, 1.000e+00, 2.000e+00, 2.000e+00, 8.000e+01,
 2.000e+00, 1.000e+00, 7.000e-02, 2.400e+01, 6.000e+00,
 1.000e+00, 1.000e+00, 2.000e+00, 2.000e+00, 1.000e+00,

1.800e+01, 2.180e+00],
 [3.500e+01, 2.000e+00, 2.000e+00, 2.000e+00, 1.000e+02,
 2.000e+00, 1.000e+00, 1.000e-02, 6.000e+00, 2.500e+01,
 2.000e+00, 3.000e+00, 3.000e+00, 1.800e+01, 2.000e+00,
 1.900e+01, 2.080e+00],
 [4.200e+01, 2.000e+00, 1.000e+00, 2.000e+00, 9.000e+01,
 2.000e+00, 1.000e+00, 7.000e-02, 5.000e+00, 3.600e+01,
 2.000e+00, 3.000e+00, 3.000e+00, 1.800e+01, 2.000e+00,
 3.100e+01, 2.210e+00],
 [5.200e+01, 2.000e+00, 2.000e+00, 2.000e+00, 1.000e+02,
 2.000e+00, 1.000e+00, 1.200e+00, 1.700e+01, 2.600e+01,
 2.000e+00, 3.000e+00, 2.000e+00, 1.200e+01, 2.000e+00,
 2.600e+01, 2.400e+00],
 [3.900e+01, 2.000e+00, 3.000e+00, 2.000e+00, 1.000e+02,
 2.000e+00, 1.000e+00, 9.800e-01, 1.400e+01, 2.100e+01,
 2.000e+00, 1.000e+00, 2.000e+00, 4.000e+00, 1.000e+00,
 2.200e+01, 2.060e+00],
 [6.300e+01, 1.000e+00, 3.000e+00, 2.000e+00, 8.000e+01,
 2.000e+00, 2.000e+00, 6.790e+00, 3.300e+01, 3.000e+01,
 2.000e+00, 2.000e+00, 4.000e+00, 1.600e+01, 2.000e+00,
 4.500e+01, 1.850e+00],
 [4.800e+01, 1.000e+00, 3.000e+00, 2.000e+00, 1.000e+02,
 2.000e+00, 2.000e+00, 5.480e+00, 2.000e+01, 2.800e+01,
 2.000e+00, 2.000e+00, 4.000e+00, 1.600e+01, 2.000e+00,
 2.200e+01, 2.060e+00],
 [2.700e+01, 1.000e+00, 3.000e+00, 2.000e+00, 1.000e+02,
 2.000e+00, 2.000e+00, 4.100e+00, 1.800e+01, 9.000e+00,
 1.000e+00, 1.000e+00, 2.000e+00, 2.000e+00, 1.000e+00,
 1.800e+01, 1.990e+00],
 [3.200e+01, 1.000e+00, 2.000e+00, 2.000e+00, 1.000e+02,
 2.000e+00, 2.000e+00, 1.902e+01, 6.000e+00, 2.600e+01,
 2.000e+00, 2.000e+00, 3.000e+00, 1.200e+01, 2.000e+00,
 1.900e+01, 1.970e+00],

```
[ 3.900e+01, 1.000e+00, 1.000e+00, 2.000e+00, 1.000e+02,
 2.000e+00, 2.000e+00, 2.954e+01, 8.000e+00, 3.800e+01,
 2.000e+00, 3.000e+00, 4.000e+00, 2.400e+01, 2.000e+00,
 2.500e+01, 1.930e+00],
[ 4.600e+01, 1.000e+00, 2.000e+00, 2.000e+00, 1.000e+02,
 2.000e+00, 2.000e+00, 2.540e+01, 7.000e+00, 3.200e+01,
 2.000e+00, 3.000e+00, 2.000e+00, 1.200e+01, 2.000e+00,
 3.000e+01, 1.950e+00],
[ 3.000e+01, 2.000e+00, 2.000e+00, 2.000e+00, 8.000e+01,
 2.000e+00, 2.000e+00, 1.967e+01, 2.400e+01, 6.000e+00,
 1.000e+00, 2.000e+00, 2.000e+00, 4.000e+00, 1.000e+00,
 2.100e+01, 2.110e+00],
[ 4.100e+01, 2.000e+00, 2.000e+00, 2.000e+00, 1.000e+02,
 2.000e+00, 2.000e+00, 2.201e+01, 2.400e+01, 1.700e+01,
 2.000e+00, 1.000e+00, 2.000e+00, 4.000e+00, 1.000e+00,
 2.300e+01, 2.190e+00],
[ 3.000e+01, 2.000e+00, 2.000e+00, 2.000e+00, 9.000e+01,
 2.000e+00, 2.000e+00, 1.898e+01, 1.900e+01, 1.700e+01,
 2.000e+00, 2.000e+00, 4.000e+00, 1.600e+01, 2.000e+00,
 2.300e+01, 2.380e+00],
[ 4.500e+01, 2.000e+00, 3.000e+00, 2.000e+00, 1.000e+02,
 2.000e+00, 2.000e+00, 1.789e+01, 3.900e+01, 1.300e+01,
 1.000e+00, 2.000e+00, 2.000e+00, 4.000e+00, 1.000e+00,
 3.900e+01, 1.780e+00],
[ 3.500e+01, 2.000e+00, 3.000e+00, 2.000e+00, 1.000e+02,
 2.000e+00, 2.000e+00, 1.461e+01, 3.000e+00, 2.800e+01,
 2.000e+00, 2.000e+00, 3.000e+00, 1.200e+01, 2.000e+00,
 2.100e+01, 2.190e+00],
[ 3.000e+01, 2.000e+00, 3.000e+00, 2.000e+00, 9.000e+01,
 2.000e+00, 2.000e+00, 3.255e+01, 1.900e+01, 2.000e+01,
 2.000e+00, 4.000e+00, 3.000e+00, 2.400e+01, 2.000e+00,
 2.600e+01, 2.240e+00]], dtype=float32)
```

```
from sklearn.model_selection import train_test_split
```

```
x_train, x_test, y_train, y_test = train_test_split(X, Y, test_size = 0.2, random_state = 4)
```

```
print(x_train.shape)
```

```
print(x_test.shape)
```

```
print(y_train.shape)
```

```
print(y_test.shape)
```

```
(37, 17)
```

```
(10, 17)
```

```
(37,)
```

```
(10,)
```

```
y_test
```

```
32  1
```

```
45  2
```

```
4   1
```

```
15  2
```

```
38  1
```

```
20  1
```

```
16  1
```

```
7   2
```

```
18  2
```

```
11  1
```

```
Name: NAM_b, dtype: int64
```

```
# standardization
```

```
#from sklearn.preprocessing import MinMaxScaler
```

```
#mm = MinMaxScaler()
```

```
# feeding the data to the scaler
```

```
#x_train = mm.fit_transform(x_train)
```

```
#x_test = mm.transform(x_test)
```

```
from sklearn.preprocessing import StandardScaler
```

```
sc = StandardScaler()
```

```
# feeding the into the scaler
```

```
x_train = sc.fit_transform(x_train)
```

```
x_test = sc.transform(x_test)
```

```
x_train
```

```
array([[ 0.88482505,  1.145644 ,  1.0942203 ,  0.43994135,  0.1220886 ,  
        -1.0846523 ,  0.97332853, -0.2591923 , -1.1982504 ,  1.8714821 ,  
         0.7359801 , -0.40712827, -0.5887448 , -0.30231085,  0.7359801 ,  
        -0.76299185, -0.7261282 ],  
       [-1.2780806 , -0.8728716 ,  1.0942203 ,  0.43994135,  0.643313 ,  
         0.92195445,  0.97332853, -0.43810052,  0.06569355, -1.0949429 ,  
        -1.3587325 , -1.7765596 , -0.5887448 , -1.3509516 , -1.3587325 ,  
        -1.1086739 , -0.26843235],  
       [-0.88482505,  1.145644 , -0.5252257 , -2.2730303 , -2.1365507 ,  
        -1.0846523 ,  0.97332853,  0.94023377,  0.5518258 , -1.179698 ,  
        -1.3587325 , -0.40712827,  0.5004331 , -0.65185773, -1.3587325 ,  
        -0.8782192 ,  1.0131158 ],  
       [ 0.09831389,  1.145644 , -0.5252257 ,  0.43994135,  0.643313 ,  
         0.92195445,  0.97332853,  1.457903 ,  0.6490523 , -0.416903 ,  
         0.7359801 , -1.7765596 , -0.5887448 , -1.0014046 , -1.3587325 ,  
        -0.53253716,  0.6469595 ],  
       [ 0.88482505,  1.145644 , -0.5252257 , -2.2730303 , -2.4840336 ,  
         0.92195445, -1.0274023 , -0.8573173 , -0.4204387 ,  1.1934421 ,  
         0.7359801 , -0.40712827, -1.6779227 , -1.0014046 , -1.3587325 ,  
         1.5415549 , -0.7718978 ],  
       [ 0.2949417 , -0.8728716 , -0.5252257 , -2.2730303 , -1.7890676 ,  
         0.92195445, -1.0274023 , -0.85202414, -1.1010239 ,  1.1934421 ,  
         0.7359801 , -0.40712827,  0.5004331 ,  0.396783 ,  0.7359801 ,  
         0.04359953, -1.046515 ]],
```

[0.49156946, 1.145644 , 1.0942203 , 0.43994135, 0.643313 ,
0.92195445, 0.97332853, 1.021748 , 2.107449 , -0.755923 ,
-1.3587325 , -0.40712827, -0.5887448 , -1.0014046 , -1.3587325 ,
1.3111002 , -1.2295938],

[-0.19662778, 1.145644 , -0.5252257 , -2.2730303 , -2.1365507 ,
-1.0846523 , 0.97332853, 0.97834426, -0.7121181 , 0.26113704,
0.7359801 , -0.40712827, -0.5887448 , -0.30231085, 0.7359801 ,
0.5045089 , 0.60119],

[-1.4747084 , -0.8728716 , 1.0942203 , -2.2730303 , -1.7890676 ,
-1.0846523 , 0.97332853, -0.2718958 , -0.22598581, 1.278197 ,
0.7359801 , -0.40712827, -0.5887448 , -0.30231085, 0.7359801 ,
-0.8782192 , 1.379272],

[-0.7865111 , -0.8728716 , -0.5252257 , 0.43994135, 0.29583007,
-1.0846523 , 0.97332853, 0.9592889 , 0.26014647, -0.840678 ,
-1.3587325 , -0.40712827, 1.5896109 , -0.30231085, 0.7359801 ,
-0.0716278 , -0.8176673],

[-1.1797668 , -0.8728716 , -0.5252257 , 0.43994135, -0.22539434,
0.92195445, -1.0274023 , -0.681585 , 0.06569355, -1.010188 ,
-1.3587325 , 0.96230316, -1.6779227 , -1.1761781 , -1.3587325 ,
-0.53253716, -0.9549759],

[2.2612195 , -0.8728716 , 1.0942203 , 0.43994135, 0.29583007,
0.92195445, 0.97332853, -0.15332945, 1.5240903 , 0.6849121 ,
0.7359801 , -0.40712827, 1.5896109 , 1.0958768 , 0.7359801 ,
2.0024643 , -0.9092064],

[1.1797668 , -0.8728716 , -0.5252257 , 0.43994135, 0.643313 ,
0.92195445, -1.0274023 , -0.61277413, 2.7880344 , -1.433963 ,
-1.3587325 , -0.40712827, -0.5887448 , -1.0014046 , -1.3587325 ,
2.1176918 , 1.379272],

[-1.867964 , -0.8728716 , 1.0942203 , 0.43994135, -0.05165287,
-1.0846523 , 0.97332853, -0.34494117, -0.51766515, -1.010188 ,
-1.3587325 , 0.96230316, 0.5004331 , -0.12753738, 0.7359801 ,
-1.1086739 , -1.4584415],

[-0.9831389 , 1.145644 , -0.5252257 , 0.43994135, 0.29583007,

0.92195445, 0.97332853, 1.2101839, 0.6490523, -1.349208 ,
-1.3587325, -0.40712827, -0.5887448, -1.0014046, -1.3587325 ,
-0.76299185, 0.28080207],

[1.1797668, 1.145644, -0.5252257, 0.43994135, 0.643313 ,
0.92195445, -1.0274023, -0.7451027, -0.0315329, 0.345892 ,
0.7359801, 0.96230316, -0.5887448, 0.396783, 0.7359801 ,
-0.18685515, 1.6081208],

[0.7865111, -0.8728716, -0.5252257, 0.43994135, 0.1220886 ,
-1.0846523, 0.97332853, 1.1858355, -0.4204387, 1.108687 ,
0.7359801, -0.40712827, -0.5887448, -0.30231085, 0.7359801 ,
1.887237, -1.046515],

[0.19662778, -0.8728716, 1.0942203, 0.43994135, 0.643313 ,
-1.0846523, -1.0274023, -0.7302819, -1.1010239, 0.7696671 ,
0.7359801, -0.40712827, -0.5887448, -0.30231085, 0.7359801 ,
-0.30208248, 1.1961939],

[-0.39325556, -0.8728716, 1.0942203, -2.2730303, -2.8315165 ,
0.92195445, -1.0274023, -0.80544454, 1.4268639, -0.755923 ,
-1.3587325, 0.96230316, -0.5887448, -0.65185773, -1.3587325 ,
-0.76299185, -0.6803587],

[-0.49156946, 1.145644, -0.5252257, 0.43994135, 0.643313 ,
0.92195445, -1.0274023, -0.8710795, -1.1010239, 0.26113704,
0.7359801, 0.96230316, 0.5004331, 1.4454237, 0.7359801 ,
-0.9934466, 0.14349347],

[-0.88482505, -0.8728716, -2.1446717, 0.43994135, 0.29583007,
0.92195445, -1.0274023, -0.8689623, -0.7121181, -0.16263798,
0.7359801, 0.96230316, -0.5887448, 0.396783, 0.7359801 ,
-0.30208248, 1.379272],

[1.1797668, -0.8728716, -0.5252257, 0.43994135, 0.29583007,
-1.0846523, -1.0274023, -0.82449985, -1.1010239, 0.8544221 ,
0.7359801, -0.40712827, -0.5887448, -0.30231085, 0.7359801 ,
2.0024643, 1.7454294],

[-0.9831389, 1.145644, -0.5252257, 0.43994135, 0.46957156,
0.92195445, 0.97332853, 1.1371385, 0.16292, -0.416903 ,

0.7359801 , -0.40712827, 1.5896109 , 1.0958768 , 0.7359801 ,
 -0.53253716, 1.5165818],
 [-0.09831389, 1.145644 , 1.0942203 , 0.43994135, 0.643313 ,
 0.92195445, -1.0274023 , -0.76839256, -0.32321227, -0.07788298,
 0.7359801 , -1.7765596 , -0.5887448 , -1.0014046 , -1.3587325 ,
 -0.6477645 , 0.0519544],
 [1.3763945 , 1.145644 , -0.5252257 , 0.43994135, 0.46957156,
 -1.0846523 , 0.97332853, 0.48078892, 0.06569355, 1.1934421 ,
 0.7359801 , 2.3317347 , -1.6779227 , -0.30231085, 0.7359801 ,
 1.887237 , -0.7261282],
 [0.5898834 , -0.8728716 , -0.5252257 , 0.43994135, 0.29583007,
 -1.0846523 , -1.0274023 , -0.5863084 , 1.6213169 , -1.010188 ,
 -1.3587325 , 0.96230316, 1.5896109 , 0.396783 , 0.7359801 ,
 0.61973625, -1.2295938],
 [-1.6713362 , -0.8728716 , 1.0942203 , 0.43994135, 0.46957156,
 -1.0846523 , 0.97332853, -0.23907833, -1.3927033 , -0.16263798,
 0.7359801 , -0.40712827, 1.5896109 , 1.0958768 , 0.7359801 ,
 -0.9934466 , -1.2295938],
 [0.7865111 , -0.8728716 , 1.0942203 , 0.43994135, 0.643313 ,
 0.92195445, 0.97332853, -0.29200974, 0.26014647, 0.515402 ,
 0.7359801 , -0.40712827, 1.5896109 , 1.0958768 , 0.7359801 ,
 -0.6477645 , 0.0519544],
 [0.19662778, -0.8728716 , -0.5252257 , 0.43994135, 0.29583007,
 0.92195445, -1.0274023 , -0.8647277 , 0.6490523 , -1.349208 ,
 -1.3587325 , -1.7765596 , -0.5887448 , -1.3509516 , -1.3587325 ,
 -1.1086739 , 0.60119],
 [-0.09831389, -0.8728716 , -2.1446717 , 0.43994135, 0.643313 ,
 0.92195445, 0.97332853, 2.2550502 , -0.90657103, 1.3629521 ,
 0.7359801 , 0.96230316, 1.5896109 , 2.4940646 , 0.7359801 ,
 -0.30208248, -0.5430501],
 [-0.9831389 , 1.145644 , -2.1446717 , 0.43994135, 0.29583007,
 -1.0846523 , -1.0274023 , -0.76521665, -0.90657103, -0.416903 ,
 0.7359801 , 0.96230316, 0.5004331 , 1.4454237 , 0.7359801 ,

```

-0.41730982, -0.40574098],
[-0.7865111 , 1.145644 , 1.0942203 , 0.43994135, 0.643313 ,
-1.0846523 , -1.0274023 , -0.829793 , 0.9407316 , -1.433963 ,
-1.3587325 , 0.96230316, -0.5887448 , -0.65185773, -1.3587325 ,
-0.9934466 , 1.791199 ],
[ 1.3763945 , 1.145644 , 1.0942203 , 0.43994135, 0.1220886 ,
-1.0846523 , -1.0274023 , -0.7451027 , -1.1010239 , 2.2105021 ,
0.7359801 , -0.40712827, 1.5896109 , 1.0958768 , 0.7359801 ,
0.61973625, -0.3142019 ],
[ 0.5898834 , -0.8728716 , -0.5252257 , 0.43994135, 0.643313 ,
0.92195445, 0.97332853, 1.816778 , -1.0037975 , 0.8544221 ,
0.7359801 , 0.96230316, -0.5887448 , 0.396783 , 0.7359801 ,
0.27405423, -0.45151052],
[ 0.7865111 , -0.8728716 , 1.0942203 , 0.43994135, 0.643313 ,
-1.0846523 , -1.0274023 , -0.7440441 , 0.9407316 , -0.07788298,
0.7359801 , -0.40712827, -0.5887448 , -0.30231085, 0.7359801 ,
0.04359953, -1.1838242 ],
[ 0.88482505, -0.8728716 , -0.5252257 , 0.43994135, 0.46957156,
-1.0846523 , -1.0274023 , -0.8657863 , -0.6148916 , -0.840678 ,
-1.3587325 , -0.40712827, 0.5004331 , -0.65185773, -1.3587325 ,
0.15882687, -0.26843235],
[-0.9831389 , 1.145644 , 1.0942203 , 0.43994135, 0.46957156,
0.92195445, 0.97332853, 2.573697 , 0.16292 , -0.16263798,
0.7359801 , 2.3317347 , 0.5004331 , 2.4940646 , 0.7359801 ,
-0.18685515, 0.87580717]], dtype=float32)

```

Using Machine Learning to solve the Epilepsy Dataset : Support Vector Classifier

```
model = SVC()
```

```
model.fit(x_train,y_train)
```

```
y_pred = model.predict(x_test)
```

```
print("training accuracy :", model.score(x_train, y_train))
```



```
print("testing accuracy :", model.score(x_test, y_test))
```

```
from sklearn.metrics import confusion_matrix
```

```
cm = confusion_matrix(y_test, y_pred)
```

```
print(cm)
```

```
training accuracy : 0.8918918918918919
```

```
testing accuracy : 0.5
```

```
[[5 1]
```

```
 [4 0]]
```

```
Decision Tree
```

```
model = DecisionTreeClassifier()
```

```
model.fit(x_train, y_train)
```

```
y_pred = model.predict(x_test)
```

```
print("training accuracy :", model.score(x_train, y_train))
```

```
print("testing accuracy :", model.score(x_test, y_test))
```

```
from sklearn.metrics import confusion_matrix
```

```
cm = confusion_matrix(y_test, y_pred)
```

```
print(cm)
```

```
training accuracy : 1.0
```

```
testing accuracy : 0.8
```

```
[[5 1]
```

```
 [1 3]]
```

```
Random Forest
```

```
model = RandomForestClassifier()
```

```
model.fit(x_train, y_train)
```

```

y_pred = model.predict(x_test)

print("training accuracy :", model.score(x_train, y_train))
print("testing accuracy :", model.score(x_test, y_test))

cm = confusion_matrix(y_test, y_pred)
print(cm)
training accuracy : 1.0
testing accuracy : 0.7
[[5 1]
 [2 2]]
from sklearn.neural_network import MLPClassifier
import tensorflow as tf
import seaborn as sns
Multi Layer Perceptron
model = MLPClassifier(hidden_layer_sizes = (5,2), max_iter = 150)

model.fit(x_train, y_train)
y_pred = model.predict(x_test)

print("training accuracy :", model.score(x_train, y_train))
print("testing accuracy :", model.score(x_test, y_test))

cm = confusion_matrix(y_test, y_pred)
print(cm)
training accuracy : 1.0
testing accuracy : 0.5
[[5 1]
 [4 0]]
from sklearn.linear_model import Perceptron

model = Perceptron()
model.fit(x_train, y_train)

```

```

y_pred = model.predict(x_test)

print("Misclassified Samples : %d" %(y_test != y_pred).sum())

print("Training Accuracy :", model.score(x_train, y_train))
print("Testing Accuracy :", model.score(x_test, y_test))

cm = confusion_matrix(y_pred, y_test)
print("Confusion Matrix :",cm)
Misclassified Samples : 5
Training Accuracy : 0.7837837837837838
Testing Accuracy : 0.5
Confusion Matrix : [[3 2]
 [3 2]]
#create object of StandardScaler class
X_train=x_train
X_test=x_test

ss=StandardScaler()
X_train=ss.fit_transform(X_train)
X_test=ss.transform(X_test)
#Create a neural network
#create the object of Sequential model
model=tf.keras.Sequential([
    tf.keras.layers.Dense(2,activation='relu',input_shape=(X.shape[1],)),
    tf.keras.layers.Dense(3,activation='relu'),
    tf.keras.layers.Dense(3,activation='softmax') #output layer unit of neuron=3
])
#compile the model
#optimizer='adam' if use multiclass in classification algo. and loss='sparse_categorical_crossentropy'
model.compile(optimizer="adam", loss="sparse_categorical_crossentropy")
Y_train=y_train

```

#train the model , use fit() method

trained_model=model.fit(X_train,Y_train,epochs=30, batch_size=10)

Epoch 1/30

4/4 [=====] - 0s 1ms/step - loss: 1.1595

Epoch 2/30

4/4 [=====] - 0s 2ms/step - loss: 1.1512

Epoch 3/30

4/4 [=====] - 0s 2ms/step - loss: 1.1424

Epoch 4/30

4/4 [=====] - 0s 2ms/step - loss: 1.1350

Epoch 5/30

4/4 [=====] - 0s 2ms/step - loss: 1.1283

Epoch 6/30

4/4 [=====] - 0s 2ms/step - loss: 1.1205

Epoch 7/30

4/4 [=====] - 0s 2ms/step - loss: 1.1145

Epoch 8/30

4/4 [=====] - 0s 2ms/step - loss: 1.1067

Epoch 9/30

4/4 [=====] - 0s 2ms/step - loss: 1.1011

Epoch 10/30

4/4 [=====] - 0s 2ms/step - loss: 1.0938

Epoch 11/30

4/4 [=====] - 0s 2ms/step - loss: 1.0887

Epoch 12/30

4/4 [=====] - 0s 2ms/step - loss: 1.0821

Epoch 13/30

4/4 [=====] - 0s 2ms/step - loss: 1.0765

Epoch 14/30

4/4 [=====] - 0s 1ms/step - loss: 1.0709

Epoch 15/30

4/4 [=====] - 0s 2ms/step - loss: 1.0660

Epoch 16/30

```

4/4 [=====] - 0s 2ms/step - loss: 1.0605
Epoch 17/30
4/4 [=====] - 0s 2ms/step - loss: 1.0557
Epoch 18/30
4/4 [=====] - 0s 1ms/step - loss: 1.0504
Epoch 19/30
4/4 [=====] - 0s 2ms/step - loss: 1.0456
Epoch 20/30
4/4 [=====] - 0s 1ms/step - loss: 1.0420
Epoch 21/30
4/4 [=====] - 0s 2ms/step - loss: 1.0361
Epoch 22/30
4/4 [=====] - 0s 2ms/step - loss: 1.0322
Epoch 23/30
4/4 [=====] - 0s 2ms/step - loss: 1.0275
Epoch 24/30
4/4 [=====] - 0s 2ms/step - loss: 1.0236
Epoch 25/30
4/4 [=====] - 0s 2ms/step - loss: 1.0194
Epoch 26/30
4/4 [=====] - 0s 1ms/step - loss: 1.0150
Epoch 27/30
4/4 [=====] - 0s 2ms/step - loss: 1.0111
Epoch 28/30
4/4 [=====] - 0s 1ms/step - loss: 1.0070
Epoch 29/30
4/4 [=====] - 0s 2ms/step - loss: 1.0033
Epoch 30/30
4/4 [=====] - 0s 2ms/step - loss: 0.9992
#testing the model
Y_pred = model.predict(X_test)
Y_pred
array([[0.2615192 , 0.31009597, 0.4283849 ],

```

```

[0.28147605, 0.34318054, 0.37534347],
[0.29321373, 0.36389884, 0.34288743],
[0.22554258, 0.2554135 , 0.5190439 ],
[0.2990215 , 0.3745828 , 0.32639563],
[0.24667062, 0.2868602 , 0.4664692 ],
[0.2990215 , 0.3745828 , 0.32639563],
[0.2990215 , 0.3745828 , 0.32639563],
[0.26364824, 0.31351623, 0.4228356 ],
[0.1752586 , 0.1865203 , 0.6382211 ]], dtype=float32)
Y_pred = Y_pred.argmax(axis=1) #select highest probability of multiple class column wise
#and hold in Y_pred
#argmax : inbuilt method ,select highest prob. of multiple class
Y_pred
array([2, 2, 1, 2, 1, 2, 1, 1, 2, 2], dtype=int64)
list(y_test)
[1, 2, 1, 2, 1, 1, 1, 2, 2, 1]
y_test-Y_pred
32 -1
45  0
4  0
15  0
38  0
20 -1
16  0
7  1
18  0
11 -1
Name: NAM_b, dtype: int64
plt.subplot(211)
plt.scatter(Y_pred,[1,2,3,4,5,6,7,8,9,10], color='red', lw=5)
plt.scatter(y_test,[1,2,3,4,5,6,7,8,9,10], color='orange', lw=7)

plt.show()

```

```

import seaborn as sns

cm = confusion_matrix(y_test, y_pred)
ax = sns.heatmap(cm, annot=True, cmap='Blues')

ax.set_title('Seaborn Confusion Matrix with labels\n\n');
ax.set_xlabel('\nPredicted Values')
ax.set_ylabel('Actual Values ');

## Ticket labels - List must be in alphabetical order
ax.xaxis.set_ticklabels([1,2])
ax.yaxis.set_ticklabels([2,1])

## Display the visualization of the Confusion Matrix.
plt.show()

```

```

from sklearn.metrics import classification_report
print(classification_report(y_test,y_pred))

```

	precision	recall	f1-score	support
1	0.70	1.00	0.82	7
2	0.00	0.00	0.00	3
accuracy			0.70	10
macro avg	0.35	0.50	0.41	10
weighted avg	0.49	0.70	0.58	10

C:\Users\bagher\anaconda3\lib\site-packages\sklearn\metrics_classification.py:1248:
 UndefinedMetricWarning: Precision and F-score are ill-defined and being set to 0.0 in labels with
 no predicted samples. Use `zero_division` parameter to control this behavior.

```

_warn_prf(average, modifier, msg_start, len(result))

```

C:\Users\bagher\anaconda3\lib\site-packages\sklearn\metrics_classification.py:1248:

UndefinedMetricWarning: Precision and F-score are ill-defined and being set to 0.0 in labels with no predicted samples. Use `zero_division` parameter to control this behavior.

```
_warn_prf(average, modifier, msg_start, len(result))
```

C:\Users\bagher\anaconda3\lib\site-packages\sklearn\metrics_classification.py:1248:

UndefinedMetricWarning: Precision and F-score are ill-defined and being set to 0.0 in labels with no predicted samples. Use `zero_division` parameter to control this behavior.

```
_warn_prf(average, modifier, msg_start, len(result))
```

```
#
```

```
# DO NOT EDIT THIS FUNCTION; IF YOU WANT TO PLAY AROUND WITH DATA  
GENERATION,
```

```
# MAKE A COPY OF THIS FUNCTION AND THEN EDIT
```

```
#
```

```
import numpy as np
```

```
from sklearn.datasets import make_moons
```

```
from sklearn.model_selection import train_test_split
```

```
import matplotlib.pyplot as plt
```

```
from matplotlib.colors import ListedColormap
```

```
def generate_data(n_samples, tst_frac=0.2, val_frac=0.2):
```

```
    # Generate a non-linear data set
```

```
    X, y = make_moons(n_samples=n_samples, noise=0.25, random_state=42)
```

```
    # Take a small subset of the data and make it VERY noisy; that is, generate outliers
```

```
    m = 30
```

```
    np.random.seed(30) # Deliberately use a different seed
```

```
    ind = np.random.permutation(n_samples)[:m]
```

```
    X[ind, :] += np.random.multivariate_normal([0, 0], np.eye(2), (m, ))
```

```
    y[ind] = 1 - y[ind]
```



```

# Plot this data
cmap = ListedColormap(['#b30065', '#178000'])
plt.scatter(X[:, 0], X[:, 1], c=y, cmap=cmap, edgecolors='k')

# First, we use train_test_split to partition (X, y) into training and test sets
X_trn, X_tst, y_trn, y_tst = train_test_split(X, y, test_size=tst_frac,
                                             random_state=42)

# Next, we use train_test_split to further partition (X_trn, y_trn) into training and validation sets
X_trn, X_val, y_trn, y_val = train_test_split(X_trn, y_trn, test_size=val_frac,
                                             random_state=42)

return (X_trn, y_trn), (X_val, y_val), (X_tst, y_tst)
#
# DO NOT EDIT THIS FUNCTION; IF YOU WANT TO PLAY AROUND WITH
# VISUALIZATION,
# MAKE A COPY OF THIS FUNCTION AND THEN EDIT
#

def visualize(models, param, X, y):
    # Initialize plotting
    if len(models) % 3 == 0:
        nrows = len(models) // 3
    else:
        nrows = len(models) // 3 + 1

    fig, axes = plt.subplots(nrows=nrows, ncols=3, figsize=(15, 5.0 * nrows))
    cmap = ListedColormap(['#b30065', '#178000'])

    # Create a mesh
    xMin, xMax = X[:, 0].min() - 1, X[:, 0].max() + 1
    yMin, yMax = X[:, 1].min() - 1, X[:, 1].max() + 1
    xMesh, yMesh = np.meshgrid(np.arange(xMin, xMax, 0.01),

```

```

np.arange(yMin, yMax, 0.01))

for i, (p, clf) in enumerate(models.items()):
    # if i > 0:
    #     break
    r, c = np.divmod(i, 3)
    ax = axes[r, c]

    # Plot contours
    zMesh = clf.decision_function(np.c_[xMesh.ravel(), yMesh.ravel()])
    zMesh = zMesh.reshape(xMesh.shape)
    ax.contourf(xMesh, yMesh, zMesh, cmap=plt.cm.PiYG, alpha=0.6)

    if (param == 'C' and p > 0.0) or (param == 'gamma'):
        ax.contour(xMesh, yMesh, zMesh, colors='k', levels=[-1, 0, 1],
                    alpha=0.5, linestyles=['--', '-', '--'])

    # Plot data
    ax.scatter(X[:, 0], X[:, 1], c=y, cmap=cmap, edgecolors='k')
    ax.set_title('{0} = {1}'.format(param, p))

# Generate the data
n_samples = 300 # Total size of data set
(X_trn, y_trn), (X_val, y_val), (X_tst, y_tst) = generate_data(n_samples)
X_trn = x_train
X_tst = x_test
y_trn = y_train
y_tst = y_test

# Learn support vector classifiers with a radial-basis function kernel with
# fixed gamma = 1 / (n_features * X.std()) and different values of C
from sklearn.svm import SVC
import matplotlib.pyplot as plt
import numpy as np
C_range = np.arange(-3.0, 6.0, 1.0)

```

```

C_values = np.power(10.0, C_range)

models = dict()
trnErr = dict()
valErr = dict()

for C in C_values:
    models[C]=SVC(C=C, gamma='scale')
    models[C].fit(X_trn,y_trn)
    err1=models[C].score(X_trn,y_trn)
    # err2=models[C].score(X_val,y_val)
    trnErr[C]=1-err1
    # valErr[C]=1-err2

print(trnErr)
# print(valErr)

lists1=trnErr.items()
x1,y1=zip(*lists1)
# lists2=valErr.items()
# x2,y2=zip(*lists2)

# visualize(models, 'C', X_trn, y_trn)

plt.figure()
plt.plot(x1, y1, marker='o', linewidth=4, markersize=14)
# # plt.plot(x2, y2, marker='s', linewidth=4, markersize=14)
# plt.xscale('log')
# plt.xlabel('C', fontsize=16)
# plt.ylabel('Validation/Training error', fontsize=16)
# # plt.xticks(list(C_values), fontsize=12)
# # plt.legend(['Validation Error', 'Training Error'], fontsize=16)

```

```
# plt.axis()
# #
# #
idealvalue=SVC(C=1, gamma='scale')
idealvalue.fit(X_trn,y_trn)
Accuracy=idealvalue.score(X_tst,y_tst)
print(Accuracy)
#Accuracy = 0.833333333334
```

#DISCUSSION:

```
#When the value of C is the lowest the validation and training errors are the highest.
#As C increases the errors slowly start decreasing.
#It decreases till a certain point and then starts increasing again.
#After a certain point the validation error almost remains constant but the Training error starts
increasing
#The increase in the error is due to OVERFITTING.
#When the value of C is too small the model is underfitted whereas when the value of C is too high
the model is overfitted.
```

```
# The reason for the overfitting is because the model overshadows the regularization term of the
objective function and is
#dominated by the loss function. The model gives a higher weightage for C in the objective
function  $\mathbf{w}'\mathbf{w} + C \sum_{i=1}^n \ell(\mathbf{w}|\mathbf{x}_i, y_i)$ 
#hence leaving out the other term and overshadowing it.
```

```
#The optimum value of C for this data is 1.
```

#FINAL MODEL SELECTION:

```
#Accuracy = 0.833333333334
{0.001: 0.4054054054054054, 0.01: 0.4054054054054054, 0.1: 0.4054054054054054, 1.0:
0.10810810810810811, 10.0: 0.0, 100.0: 0.0, 1000.0: 0.0, 10000.0: 0.0, 100000.0: 0.0}
0.5
```

```

# Learn support vector classifiers with a radial-basis function kernel with
# fixed C = 10.0 and different values of gamma
gamma_range = np.arange(-2.0, 4.0, 1.0)
gamma_values = np.power(10.0, gamma_range)

models = dict()
trnErr = dict()
# valErr = dict()

for G in gamma_values:
    models[G]=SVC(C=10, gamma=G)
    models[G].fit(X_trn,y_trn)
    trnErr[G]=1-models[G].score(X_trn,y_trn)
#   valErr[G]=1-models[G].score(X_val,y_val)

print(trnErr)
# print(valErr)

lists1=trnErr.items()
x1,y1=zip(*lists1)

# visualize(models, 'gamma', X_trn, y_trn)

# plt.figure()
# plt.plot(x2, y2, marker='o', linewidth=4, markersize=14)
# plt.plot(x1, y1, marker='s', linewidth=4, markersize=14)
# plt.xscale('log')
# #plt.yscale('log')
# plt.xlabel('Gamma', fontsize=16)
# plt.ylabel('Validation/Training error', fontsize=16)
# plt.xticks(list(gamma_values), fontsize=12)

```

```

# plt.legend(['Validation Error', 'Training Error'], fontsize=16)
# plt.axis()

# idealvalue=SVC(C=10, gamma=1)
# idealvalue.fit(X_trn,y_trn)
# Accuracy=idealvalue.score(X_tst,y_tst)
print(Accuracy)
#Accuracy = 0.8333333333333334
{0.01: 0.1351351351351351, 0.1: 0.0, 1.0: 0.0, 10.0: 0.0, 100.0: 0.0, 1000.0: 0.0}
0.5
from sklearn.svm import SVC
import matplotlib.pyplot as plt
C_range = np.arange(-3.0, 6.0, 1.0)
C_values = np.power(10.0, C_range)
gamma_range = np.arange(-2.0, 4.0, 1.0)
gamma_values = np.power(10.0, gamma_range)

trnErr = dict()
valErr = dict()
print(C_values)
print(gamma_values)
xtrain=x_train
ytrain=y_train
xtest=x_test
ytest=y_test
for i in range(len(C_values)):
    for j in range(len(gamma_values)):
        Z = SVC(C=C_values[i], gamma=gamma_values[j])
        Z.fit(xtrain,ytrain)
#     err1=Z.score(xvalidation,yvalidation)
        err2=Z.score(xtrain,ytrain)
        valErr=1-err1
        trnErr=1-err2

```

```

print(C_values[i], ' ', gamma_values[j], ' ', trnErr, ' ', valErr)

idealvalue=SVC(C=100, gamma=0.01)
idealvalue.fit(xtrain,ytrain)
Accuracy=idealvalue.score(xtest,ytest)
print(Accuracy)
[1.e-03 1.e-02 1.e-01 1.e+00 1.e+01 1.e+02 1.e+03 1.e+04 1.e+05]
[1.e-02 1.e-01 1.e+00 1.e+01 1.e+02 1.e+03]
0.001  0.01  0.4054054054054054  0.0
0.001  0.1  0.4054054054054054  0.0
0.001  1.0  0.4054054054054054  0.0
0.001  10.0  0.4054054054054054  0.0
0.001  100.0  0.4054054054054054  0.0
0.001  1000.0  0.4054054054054054  0.0
0.01  0.01  0.4054054054054054  0.0
0.01  0.1  0.4054054054054054  0.0
0.01  1.0  0.4054054054054054  0.0
0.01  10.0  0.4054054054054054  0.0
0.01  100.0  0.4054054054054054  0.0
0.01  1000.0  0.4054054054054054  0.0
0.1  0.01  0.4054054054054054  0.0
0.1  0.1  0.4054054054054054  0.0
0.1  1.0  0.4054054054054054  0.0
0.1  10.0  0.4054054054054054  0.0
0.1  100.0  0.4054054054054054  0.0
0.1  1000.0  0.4054054054054054  0.0
1.0  0.01  0.4054054054054054  0.0
1.0  0.1  0.0  0.0
1.0  1.0  0.0  0.0
1.0  10.0  0.0  0.0
1.0  100.0  0.0  0.0
1.0  1000.0  0.0  0.0
10.0  0.01  0.1351351351351351  0.0

```

```
10.0  0.1  0.0  0.0
10.0  1.0  0.0  0.0
10.0  10.0  0.0  0.0
10.0  100.0  0.0  0.0
10.0  1000.0  0.0  0.0
100.0  0.01  0.0  0.0
100.0  0.1  0.0  0.0
100.0  1.0  0.0  0.0
100.0  10.0  0.0  0.0
100.0  100.0  0.0  0.0
100.0  1000.0  0.0  0.0
1000.0  0.01  0.0  0.0
1000.0  0.1  0.0  0.0
1000.0  1.0  0.0  0.0
1000.0  10.0  0.0  0.0
1000.0  100.0  0.0  0.0
1000.0  1000.0  0.0  0.0
10000.0  0.01  0.0  0.0
10000.0  0.1  0.0  0.0
10000.0  1.0  0.0  0.0
10000.0  10.0  0.0  0.0
10000.0  100.0  0.0  0.0
10000.0  1000.0  0.0  0.0
100000.0  0.01  0.0  0.0
100000.0  0.1  0.0  0.0
100000.0  1.0  0.0  0.0
100000.0  10.0  0.0  0.0
100000.0  100.0  0.0  0.0
100000.0  1000.0  0.0  0.0
0.5
```

File "C:\Users\bagher\AppData\Local\Temp\ipykernel_11660\1010759116.py", line 1
jupyter-nbconvert --to PDFviaHTML

^

SyntaxError: invalid syntax

فصل پنجم: نتیجه گیری و پیشنهادات

۵-۱- مقدمه

در این فصل به بررسی روش پیشنهادی برای تشخیص بیماری بعد از عمل تشنج به روش یادگیری ماشین و استفاده از تئوری شبکه عصبی و رگرسیون ماشین بردار پشتیبان و درخت تصمیم پرداخته خواهد شد. و هدف ما پیش بینی NAM خواهد بود. در این فصل ابتدا به بررسی الگوریتم های ارایه شده در فصل قبل در شناسایی بیماری تشنج خواهیم. نهایتاً اطلاعات آموزش یافته مدل های یادگیری ماشین پرداخته شده است. در ادامه نتایج و دقت و همگرایی الگوریتم ها بررسی خواهد شد.

۵-۲- مشخصه های موثر بر تشخیص بیماری های بعد از عمل تشنج

در فصل قبل به مشخصه های تاثیر گذار در شناسایی بیماری های تشنج اشاره شد و به طور کامل مورد تشریح قرار گرفت که بطور خلاصه در زیر دسته بندی شده است:

برای طبقه بندی نتایج بعد از عمل جراحی تشنج، جروم انگل طرح زیر را پیشنهاد کرد، [۱] مقیاس نتیجه جراحی تشنج انگل، که به استاندارد واقعی برای گزارش نتایج در ادبیات پزشکی تبدیل شده است:

کلاس I: بدون تشنج ناتوان کننده

کلاس II: تشنج های ناتوان کننده نادر (تقریباً بدون تشنج)

کلاس III: بهبود ارزشمند

کلاس IV: هیچ پیشرفت قابل توجهی وجود ندارد

ENG_b: Engel score = 1 (1 = ENG+); Engel score = 2, 3 or 4 (2 = ENG-)

- (ENG+) optimal postoperative clinical outcome: the Engel score of I, no seizures observed 2 years after surgery;

(ENG-) suboptimal postoperative clinical outcome: the Engel score of II-IV: persistence of more or less frequent and more or less severe seizures 2 years after surgery;

- (NAM+) optimal postoperative naming outcome: the naming score at 2 years after surgery did not decline or even improved compared to the presurgical baseline;

- (NAM-) suboptimal postoperative naming outcome: the naming score at 2 years after surgery has decreased compared to the presurgical baseline

مشخصه های بعد از عمل:

AGE: Age at time of neurosurgery (in years)

DIST: distance of the post-op workup from the date of surgery (in years)

ENG: Engel score at two years post-surgery (Engel, 1993, 2013)

ENG_b: Engel score = 1 (1 = ENG+); Engel score = 2, 3 or 4 (2 = ENG-)

NAM: Naming DO80 at two years post-surgery (Metz-Lutz et al., 1991)

NAM_b: NAM Reliable Change Index > -1.28 SD (1 = NAM +); NAM RCI ≤ -1.28 SD (2 = NAM-)

مشخصه های عمومی بیماران:

AGE: Age of patient (in years)

EDU: Educational level (in years)

GEN: Gender (Male/Female)

HDS: Handedness (Edinburgh laterality index)

HDS_b: Handedness (Left/Right)

مشخصه‌ی بیماران تشنج:

HEM: Hemispheric lateralization of the temporal lobe epilepsy (L = Left; R = right)

ASO: Age of seizures onset (in years)

AHS: Hippocampal asymmetry (absolute volume difference)

DUR: Duration of the epilepsy (in years)

DUR_b: Duration ≤ 15 years (1); > 15 years (2)

HS_b: Hippocampal sclerosis (yes/no)

FRQ: Frequency of seizures (by months)

AED: Antiepileptic drugs (daily taken)

SEV: Severity of the epilepsy (composite score deriving from DUR, FRQ and AED)

SEV_b: Severity composite score ≤ 6 (1); > 6 (2)

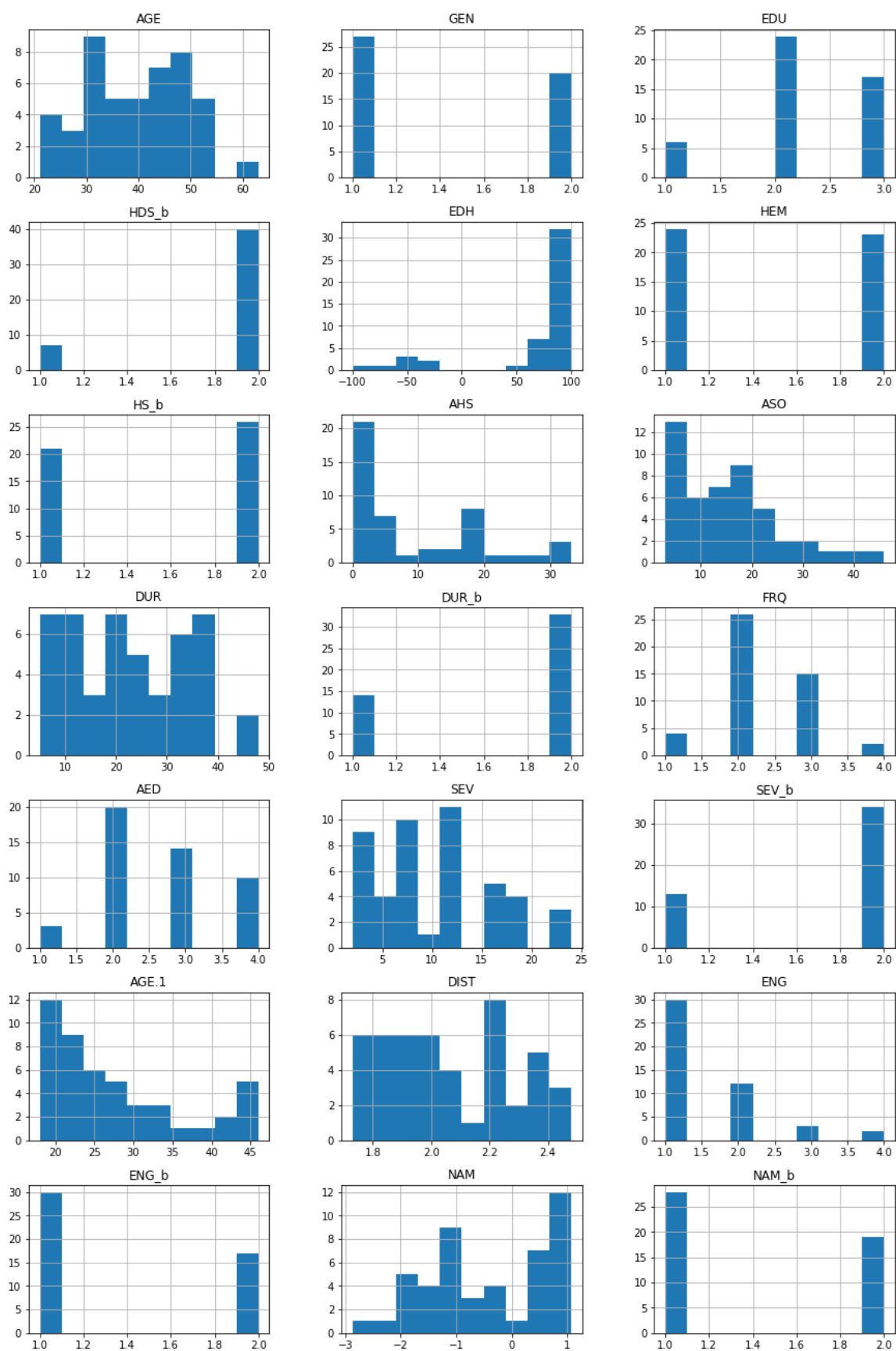
در روش پیشنهادی ما از یک دیتاست استاندارد برگرفته شده از مقاله [۵۴] استفاده شده است که تنها دیتاست استاندارد مربوط به موضوع تحقیق که دسترس عموم است می باشد. این دیتاست دارای ۲ کلاس و ۷۶ رکورد و ۲۱ ستون ویژگی می باشد.

۵-۳- نتایج خروجی الگوریتم ها

ما داده های به دو دسته آموزش و تست ۲۰/۸۰ تقسیم کرده ایم و هدف اصلی ما پیش بینی HEM بیمار بعد از عمل خواهد بود که مشخص شود آیا عمل انجام شده منجر به بهبود صرع راست یا چپ بیمار شده است یا خیر. و ما دو کلاس ۱ و ۲ را که معنی صرع راست و چپ است را در آخر پیش بینی میکنیم

۵-۴- تحلیل و بررسی دیتاست

به منظور بررسی و تحلیل داده های موجود ما یک نمای کلی از توزیع داده ها ترسیم خواهیم کرد همانطور که مشخص است توزیع AGE و DIST بیشتر از داده های دیگر است.

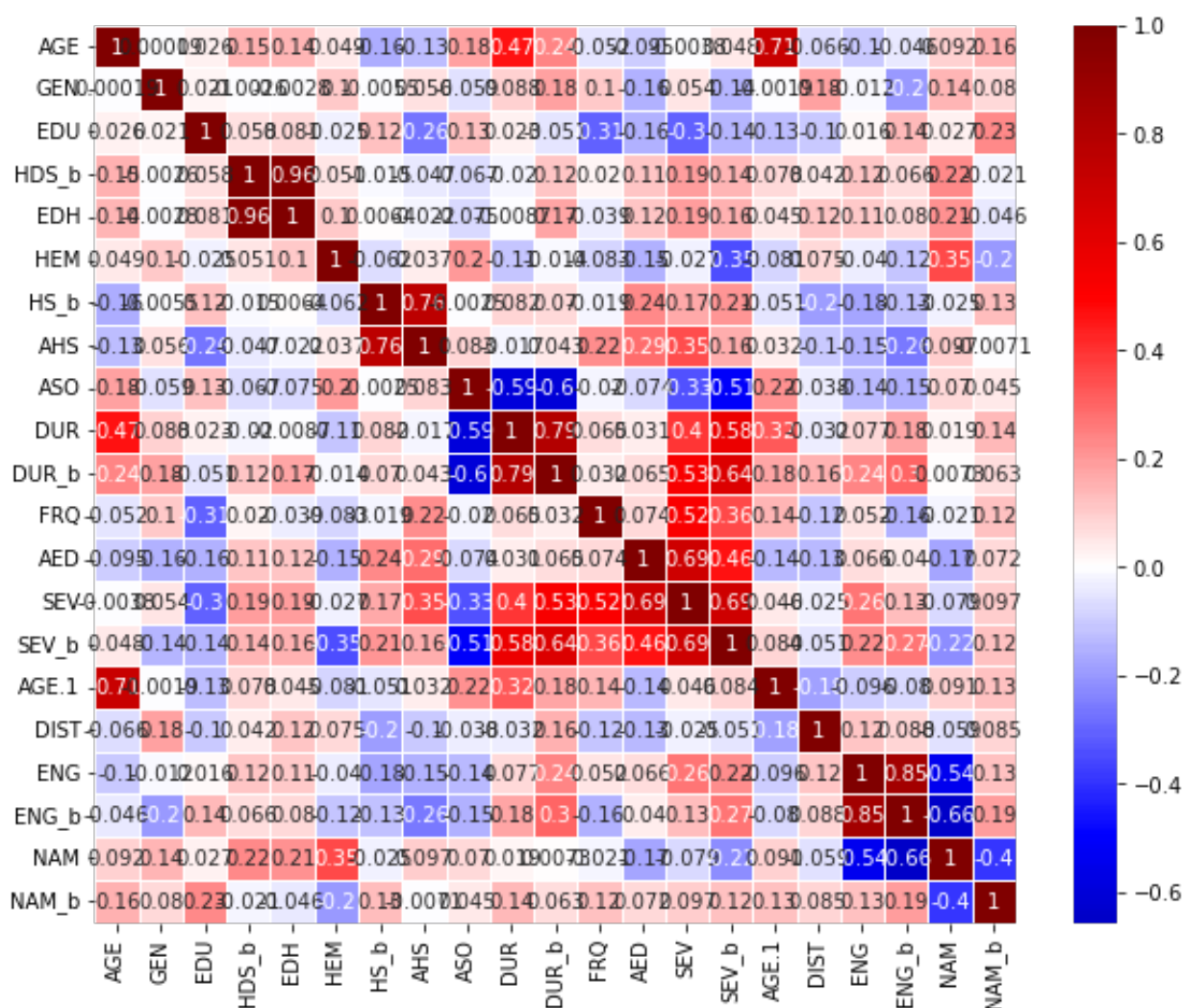


شکل ۵-۱- توزیع داده های مختلف ۲۱ ستون

در شکل زیر توزیع همبستگی داده ها براساس فرمول correlation بدست آمده است. مشاهده میشود که همبستگی

بین NAM و DUR و ENG و SEV_b و HEM بیشتر شده است. ولی ما در پیش بینی ENG را حذف کردیم

زیرا ENG مشخصه‌ی همان NAM است.



شکل ۲-۵- همبستگی بین داده ها

۵-۵-ارزیابی F1 score

با در نظر گرفتن برنامه های کاربردی برای پیش بینی بیمار یا سالم، مدل پیشنهادی خود را بر روی داده برای تأیید اعمال گشته است. ما نتایج خود را با طبقه بندی کننده های پایه RF, SVM و MLP مقایسه کردیم. تمام نتایج به دست آمده با استفاده از نمره F1 تأیید می شود تا از عدالت^۱ و سازگاری^۲ نتایج مقایسه زیر اطمینان حاصل شود. عملکرد خوب روش RF، که بیماری را در سطح نمونه مدل می کند، پتانسیل کاربردهای جدید در مدل پیشنهادی دارد، زیرا این مدل نیاز به اعمال کمترین تقسیم بندی داده ها را دارد و کاربردی تر شده است و در نتیجه هر مقدار در دسته ی درست خودش قرار گرفته است یا به نوعی پیش بینی دقیقتری انجام داده است.

جدول ۵-۱ محاسبه ی F1 score ها

TARGET/ MODEL	MLP	SVM	RF
YES	0.92921	0.94496	0.95317
NO	0.89397	0.91954	0.89888

در نتایج جدول ۵-۲ همانطور که مشخص است میزان صحت بالاتر در مدل پیشنهادی بیشتر صادق است به خصوص در یافتن اهداف YES و NO. مدل RF در واقع با بهتر در نظر گرفتن ویژگیها نتایج در کنار یکدیگر و آموزش دقیقتر خطای شبکه را کاهش دهد، زیرا خطای باقی مانده در ریشه را به برگ ها با کمترین خطا انتقال میدهد و این مهم باعث می شود خطای مدل جنگل تصادفی بیش از حد مورد نیاز نشود مثل یک تابع همانی که هر چه در ورودی به آن بدهید خروجی همان را مشاهده خواهید کرد، و این مزیت مدل پیشنهادی ما را می رساند.

در مدل SVM به کل چون شبکه توانایی انتقال ورودی به خروجی را ندارد از هر نقطه به نقطه دیگر نمی تواند تجربیات را منتقل کند و این مهم باعث می شود قدم به قدم خطا زیاد شود و در هر دور از اجرای الگوریتم فرصت نشود این موارد اصلاح شود.

^۱ fairness

^۲ consistency

در مدل MLP شبکه دارای چندین لایه هست و این مهم باعث شده که در هر عمقی که وارد می شود به صورت یک نگاشت نتایج در هر نقطه منتقل کند ولی این نتایج آموزش دیده نیستند. بنابراین نسبت به مدل پیشنهادی دقت بیشتری را تجربه نکرده ایم.

اما در بحث پوشش یا خطای بدست آمده همانطور که مشخص است باتوجه به شواهد ذکر شده، در مدل MLP ما شاهد کمی overfit نسبت به مدل RF هستیم که این نشان می دهد خطای شبکه را زیاد کرده است و به علت آموزش بیش از حد این اتفاق افتاده است. و در واقع زمانی آنهایی که صحیح هستند را شبکه به غلط تشخیص داده است. در مدل SVM نیز این مشاهدات غلط بیشتر نیز ملموس است زیرا مدل قدرت تشخیص لازم را نیز نداشته است.

^{۱۲} و صحت جدول ۵-۲ محاسبه‌ی معیار پوشش

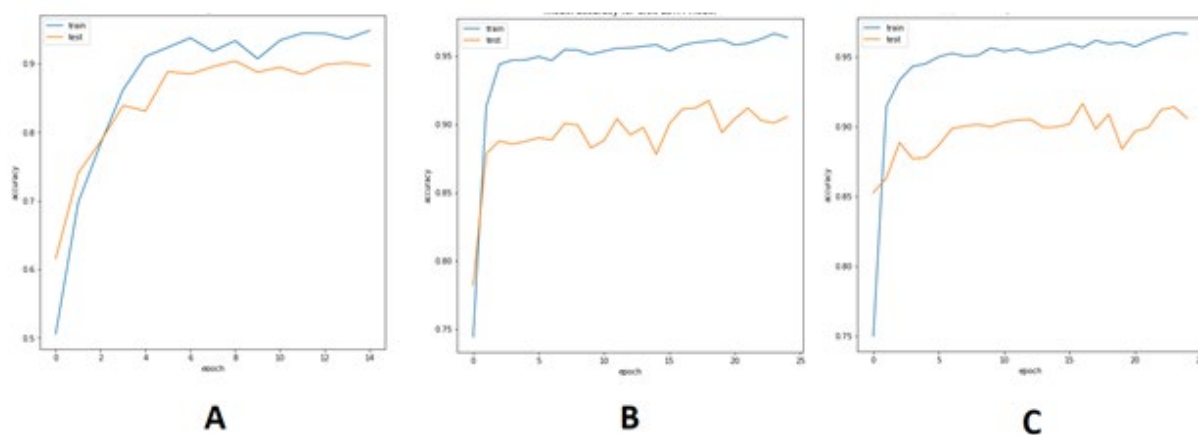
Target/Model	MLP		SVM		RF	
	precision	recall	precision	recall	precision	Recall
YES	0.91913	0.93952	0.9743	0.91734	0.98495	0.92339
NO	0.87576	0.91295	0.90535	0.93418	0.86614	0.93418

در شکل ۳-۵ بعد از هر epoch مقدار خطای روی داده تست و داده آموزش بدست آمده است، در مدل MLP نسبت این دو خطا کم نشان داده شده است ولی به جواب بهتری نیز همگرا نمی شود اما در مدل پیشنهادی (جنگل تصادفی) این نسبت از هم فاصله گرفتن در واقع آموزش و تست از هم نسبت دورتری دارند که ممکن است جوابها overfit کنند.

همچنین این نتایج بعد از چندین epoch (بستگی به پیچیدگی مدل و حجم داده آموزش و ...) قابل مشاهده است که نمودارها برای هر دو (دقت داده آموزش و داده تست) همچنان در حال افزایش است. تا جایی که مشاهده می شود که نمودار خطای داده آموزش نسبت بالاتری به تست دارد، اما نقاطی که گاهی مینم می شود این نقاط شروع یک overfitting متعددی در مساله است، بنابراین باید یادگیری مدل را متوقف کرد زیرا خطای تست را به مرور زمان افزایش خواهد داد. در مدل RF میزان مینمهای خطای تست کمتر از مدل SVM است زیرا در هر فاز

^۱ Recall
^۲ Precision

آموزش دقت افزایش می‌یابد اما در مدل MLP با اینکه دقت کمتر است ولی مقدار مینم‌های خطایی در تست نیز کمتر مشاهده می‌شود و این مهم به علت نداشتن آموزش در هر دور از اجرای MLP است.



شکل ۵-۳- نتایج دقت آموزش و تست در سه مدل A- مدل MLP و B- مدل SVM و C- مدل RF

۵-۶- نتیجه گیری

این تحقیق مبتنی بر داده عکس‌های بیماران صورت گرفته است، که مشخص عکس‌های بیماران تشنج می‌تواند به عنوان یک پیش‌بینی کننده مرتبط برای نتایج نامگذاری بالینی و طولانی مدت پس از لوبکتومی گیجگاهی عمل کند. در بیماران مبتلا به تشنج در این زمینه، روش‌های یادگیری ماشین استفاده شده و مشخص شده است که مدل جنگل تصادفی بهترین مدل پیشنهادی بوده است. در نتیجه الگوریتم جنگل تصادفی به دلیل تجزیه پذیری داده به نسبت مدل‌های دیگر کاراتر خواهد بود و همانطور که مشاهده شده است دقت ۰,۹ درصد را بدست

[۱]- غفرانی محمد، اشرفی محمودرضا، بیماری های مغز و اعصاب کودکان ویژه خانواده . چاپ اول . نهضت پویا،

۱۳

[2] Kaplan H, Sadock Bj. Synopsis of psychiatry. 9th ed. Baltimore: Wiliams and Wilkins;

۱۰۳۹-۲۰۰۳:۱۰۲۹.

[3] Katzung BG. Basic & clinical pharmacology. 8thed. Fast Norwalk: Apleton and langer;

۶۷۸-۲۰۰۱:۶۶۴.

[4] U. R. Acharya, H. Fujita, V. K Sudarshan, S. Bhat, J. E.W. Koh, "Application of entropies for automated diagnosis of epilepsy using EEG signals: A review," Knowledge-Based Systems, vol. 88, pp. 88- 99, November 2038,.

، [۵] کیهانی دوست زهرا، ورزش و بیماری صرع، فصلنامه بیماری های کودکان، ۱۱(۴۱۳) ۲۳-۵

[6] Klug JM, Shinnar S. MRI in brain. American radiology 2005; 27(3): 43-48

[7] Gaillard WD, Chiron C, Cross JH, Harvey AS, Kuzniecky R, Hertz-Pannier L, Vezina LG; ILAE, Committee for Neuroimaging, Subcommittee for Pediatric. Guidelines for imaging infants and children with recent-onset epilepsy. Epilepsia. 2009 Sep;50(9):2147- 53.

[8] Guissard G, Damry N, Dan B, David P, Sékhara T, Zierysen F, Christophe C. Imaging in paediatric epilepsy. Arch Pediatr. 2005 Mar;12(3):337-46

[9] Scott R.C, Gadian D.G, King M.d and etal. Magnetic resonance imaging findings within 5 days of status epilepticus in childhood. Brain (2002) 125 (9): 1951-1959

[10] Yoong M, Madari R, Martinos M, Clark C, Chong K, Neville B, Chin R, Scott R. The role of magnetic resonance imaging in the follow-up of children with convulsive status epilepticus.

Dev Med Child Neurol. 2012 Apr;54(4):328-33

[11] Wongladarom S, Laothamatas J, Visudtibhan A, Sawatsut P. Magnetic resonance imaging of the brain in epileptic pediatric patients: review of the experience in Ramathibodi Hospital. J Med Assoc Thai. 2004 Sep;87(9):1092-9.

[12] Maytal J, Krauss JM, Novak G, Nagelberg J, Patel M. The role of brain computed tomography in evaluating children with new onset of seizures in the emergency department. Epilepsia. 2000 Aug;41(8):950-4

[13] Garvey MA, Gaillard WD, Rusin JA, Ochsenschlager D, Weinstein S, Conry JA, Winkfield DR, Vezina LG. Emergency brain computed tomography in children with seizures: who is most likely to benefit? J Pediatr. 1998 Nov;133(5):664-9.

[14] Fallah R, nafisi moghadam R, fallah tafti m. Result of non contrast brain computed tomography scan of 1-18 year old epileptic children. Iran Child neurol 2012; 6(3): 33-38.

[۱۵]-نتایج و پاراکلینیک های یافته بررسی. محمد غفرانی محمد، محوالتی مهدی، محمد ناصحی

درمانی در کودکان مبتال به صرع مقاوم مراجعه کننده به بیمارستان مفید در سال ۸

[16] <https://www.webmd.com/brain/picture-of-the-brain>

[17] Sandrone; et al. (2012). "Angelo Mosso". Journal of Neurology. 259 (11): 2513–2514

[18] Sandrone; et al. (2014). "Weighing brain activity with the balance: Angelo Mosso's original manuscripts come to light". Brain. 137 (Pt 2): 621–633.

[19] iller AG (2009). "The history, development, and impact of computed imaging in neurological diagnosis and neurosurgery: CT, MRI, DTI". Nature Precedings.

[20] Per E. Roland and Lars Friberg (1985). "Localization of cortical areas activated by thinking". Journal of Neurophysiology. Vol. 53, no. 5. pp. 1219–1243.

[21] Gonzalez, Rafael C. (2008). Digital image processing. Woods, Richard E. (Richard Eugene), 1954- (3rd ed.). Upper Saddle River, N.J.: Prentice Hall. pp. 23–28. ISBN 9780131687288. OCLC 137312858.

https://en.m.wikipedia.org/wiki/Digital_image_processing

[22] Epilepsy during the Middle Ages, the Renaissance and the Enlightenment .Aristidis Diamantis 1, Kalliopi Sidiropoulou, Emmanouil Magiorkinis ,PMID: 20037763 DOI: 10.1007/s00415-009-5433-7

[23] Schweiz Rundsch Med Prax. 1989 Jul 18;78(29-30):816-24.[The mind and epilepsy: opinions and viewpoints over the course of time]C VaneyPMID: 2678362

[24] Epileptic Disord. 2014 Sep;16(3):261-9. doi: 10.1684/epd.2014.0676.History of epilepsy: nosological concepts and classification.Peter Wolf 1.PMID: 25256654 DOI: 10.1684/epd.2014.0676

[25] Chang BS, Lowenstein DH (2003). "Epilepsy". N. Engl. J. Med. **349** (13): 1257–66. doi:10.1056/NEJMra022308. PMID 14507951.

[26] "Epilepsy". Fact Sheets. World Health Organization. October 2012. Retrieved January 24, 2013.

[27] Fisher R, van Emde Boas W, Blume W, Elger C, Genton P, Lee P, Engel J (2005). "Epileptic seizures and epilepsy: definitions proposed by the International League Against Epilepsy (ILAE) and the International Bureau for Epilepsy (IBE)". *Epilepsia*. **46** (4): 470–2. doi:10.1111/j.0013-9580.2005.66104.x. PMID 15816939

[28] Eadie, MJ (December 2012). "Shortcomings in the current treatment of epilepsy". *Expert review of neurotherapeutics*. **12** (12): 1419–27. doi:10.1586/ern.12.129. PMID 23237349.

[29] Thurman, DJ (September 2011). "Standards for epidemiologic studies and surveillance of epilepsy". *Epilepsia*. 52 Suppl 7: 2–26. doi:10.1111/j.1528-1167.2011.03121.x. PMID 21899536.

[30] Brodie, MJ (November 2009). "Epilepsy in later life". *Lancet neurology*. **8** (11): 1019–30. doi:10.1016/S1474-4422(09)70240-6. PMID 19800848.

[31] Holmes, Thomas R. Browne, Gregory L. (2008). Handbook of epilepsy (4th ed.). Philadelphia: Lippincott Williams & Wilkins. p. 7. ISBN 978-0-7817-7397-3.

[32] Wyllie's treatment of epilepsy: principles and practice (5th ed.). Philadelphia: Wolters Kluwer/Lippincott Williams & Wilkins. 2010. ISBN 978-1-58255-937-7.

[33] Newton, CR (29 September 2012). "Epilepsy in poor regions of the world". *Lancet*. **380** (9848): 1193–201. doi:10.1016/S0140-6736(12)61381-6. PMID 23021288.

- [34] Wilden, JA (15 August 2012). "Evaluation of first nonfebrile seizures". American family physician. **86** (4): 334–40. PMID 22963022. [35] Berg, AT (2008). "Risk of recurrence after a first unprovoked seizure". *Epilepsia*. 49 Suppl 1: 13–8. doi:10.1111/j.1528-1167.2008.01444.x. PMID 18184149.
- [36] L Devlin, A (December 2012). "Epilepsy and driving: current status of research". *Epilepsy research*. **102** (3): 135–52. doi:10.1016/j.eplesyres.2012.08.003. PMID 22981339. [37] حدود ۷۰ تا ۸۰ درصد بیماری صرع به‌طور کامل درمان می‌شود (خبرگزاری جمهوری اسلامی(ایرنا)) <http://www.irna.ir>
- [38] T Fakhoury 1, B Abou-Khalil, E Peguero, Differentiating clinical features of right and left temporal lobe seizures. <https://pubmed.ncbi.nlm.nih.gov/7925149/> Comparative Study *Epilepsia* . Sep-Oct 1994;35(5):1038-44.
- [39]. Shouman, M., Turner, T., & Stocker, R. (2012). Using data mining techniques in heart disease diagnosis and treatment. Paper presented at the Electronics, Communications and Computers (JEC-ECC), 2012 Japan-Egypt Conference on.
- [40] Craven, M. W., & Shavlik, J. W. (1997). Using neural networks for data mining. *Future generation computer systems*, 13(2), 211-229.
- [41] Enke, D., & Thawornwong, S. (2005). The use of data mining and neural networks for forecasting stock market returns. *Expert Systems with applications*, 29(4), 927-940.
- [42] Hui, S. C., & Jha, G. (2000). Data mining for customer service support. *Information & Management*, 38(1), 1-13.
- [43] Ngai, E. W., Xiu, L., & Chau, D. C. (2009). Application of data mining techniques in customer relationship management: A literature review and classification. *Expert systems with applications*, 36(2), 2592-2602.
- [44] Linoff, G. S., & Berry, M. J. (2011). *Data mining techniques: for marketing, sales, and customer relationship management*. John Wiley & Sons.
- [45] Hagan, M. T., Demuth, H. B., Beale, M. H., & De Jesús, O. (1996). *Neural network design* (Vol. 20). Boston: PWS publishing company.
- [46] Widrow, B., & Lehr, M. A. (1990). 30 years of adaptive neural networks: perceptron, madaline, and backpropagation. *Proceedings of the IEEE*, 78(9), 1415-1442.

- [47] Duda, R. O., & Hart, P. E. (1973). Pattern classification and scene analysis (Vol. 3). New York: Wiley.
- [48] Lippmann, R. P. (1989). Pattern classification using neural networks. *IEEE communications magazine*, 27(11), 47-50.
- [49] Pal, M. (2005). Random forest classifier for remote sensing classification. *International journal of remote sensing*, 26(1), 217-222.
- [50] Peterson, L. E. (2009). K-nearest neighbor. *Scholarpedia*, 4(2), 1883.
- [51] Fung, G., Mangasarian, O., & Shavlik, J. (2002). Knowledge-based support vector machine classifiers. *Advances in neural information processing systems*, 15.
- [52] Cheng, W., & Hüllermeier, E. (2009). Combining instance-based learning and logistic regression for multilabel classification. *Machine Learning*, 76(2), 211-225.
- [53] Engel, Jerome (1993). *Surgical Treatment of the Epilepsies*. Lippincott Williams & Wilkins. ISBN 0-88167-988-7.
- [54] Roger, E., Torlay, L., Banjac, S., Mosca, C., Minotti, L., Kahane, P., & Baciú, M. (2021). Prediction of the clinical and naming status after anterior temporal lobe resection in patients with epilepsy. *Epilepsy & Behavior*, 124, 108357.